



จุฬาลงกรณ์มหาวิทยาลัย

ทุนวิจัย

กองทุนรัชดาภิเษกสมโภช

รายงานผลการวิจัย

เรื่อง

การพัฒนาอัลกอริทึมถอดรหัสเทอร์โบสำหรับช่องสัญญาณ  
แบบมาร์คอฟสองสถานะที่มีสัญญาณรบกวนแบบเกาส์โดย  
ใช้ตัวตรวจวัดเบิร์ต

โดย

สถาบันวิทยบริการ

สุวิทย์ นาคไพระยุทธ

สัญญากร วุฒิสัทติกุลกิจ

เมษายน ๒๕๔๕

จุฬาลงกรณ์มหาวิทยาลัย

ทุนวิจัย

กองทุนรัชดาภิเษกสมโภช

รายงานผลการวิจัย

การพัฒนาอัลกอริทึมลดครหัสเทอร์โบสำหรับช่องสัญญาณแบบมาร์คอฟสองสถานะที่มี  
สัญญาณรบกวนแบบเกาส์โดยใช้ตัวตรวจวัดเบิร์ต

โดย

นายสุวิทย์ นาคพิระยุทธ

ผศ. ดร. ลัญจนกร วุฒิสีทธิกุลกิจ

เมษายน 2545

สถาบันวิทยบริการ  
จุฬาลงกรณ์มหาวิทยาลัย

## กิตติกรรมประกาศ

โครงการนี้ได้รับการสนับสนุนทุนวิจัยจากกองทุนรัชดาภิเษกสมโภช จุฬาลงกรณ์มหาวิทยาลัย ปีการเงิน 2543 (ครั้งที่ 4) และขอขอบคุณผู้ช่วยวิจัย นายพิสิฐ วณิชชานันท์ และ นายวรากร ศรีเชวงทรัพย์ ที่ได้ช่วยเหลือให้งานวิจัยนี้ลุล่วงไปด้วยดี



สถาบันวิทยบริการ  
จุฬาลงกรณ์มหาวิทยาลัย

เลขหมู่

เลขทะเบียน 011368

วัน,เดือน,ปี 25 พย. 45

ชื่อโครงการวิจัย      การพัฒนาอัลกอริทึมถอดรหัสเทอร์โบสำหรับช่องสัญญาณแบบ  
 มาร์คอฟสองสถานะที่มีสัญญาณรบกวนแบบเกาส์โดยใช้ตัวตรวจวัด  
 เบิร์สต์

ชื่อผู้วิจัย              นายสุวิทย์ นาคพิระยุทธ  
 ผศ. ดร. ธรรมนูญ วุฒิสัทธาภิบาลกิจ

เดือนและปีที่ทำวิจัยเสร็จ      เมษายน 2545

### บทคัดย่อ

งานวิจัยนี้เสนอระบบถอดรหัสที่ประกอบด้วยเบิร์สต์ดีเทกเตอร์และตัวถอดรหัสเทอร์โบสำหรับช่องสัญญาณแบบมาร์คอฟสองสถานะที่มีสัญญาณรบกวนแบบเกาส์ สถานะหนึ่งของช่องสัญญาณมีค่า  $E_b/N_0$  สูงซึ่งจะเรียกว่าสถานะดี ในขณะที่อีกสถานะหนึ่งมีค่า  $E_b/N_0$  ต่ำซึ่งเรียกว่าสถานะเลวหรือเบิร์สต์ เนื่องจากสัญญาณรบกวนเป็นแบบเกาส์จึงทำให้ระบบถอดรหัสสามารถใช้ข่าวสารแบบซอฟต์แวร์จากช่องสัญญาณได้ ซึ่งจะให้ผลของการถอดรหัสดีกว่าเมื่อเปรียบเทียบกับการใช้แบบจำลองของช่องสัญญาณที่มีอินพุตและเอาต์พุตแบบไบนารี ซึ่งเป็นกรณีที่สัญญาณที่ได้รับการตัดสินใจว่าเป็นสัญลักษณ์ใดก่อนการถอดรหัส เบิร์สต์ดีเทกเตอร์ที่เสนอนี้ทำหน้าที่ประมาณค่าความน่าจะเป็นของสถานะช่องสัญญาณที่เวลาต่าง ๆ และส่งข่าวสารนี้ให้แก่ตัวถอดรหัสเทอร์โบเพื่อปรับค่าฟังก์ชันความน่าจะเป็นจริง (likelihood function) อย่างเหมาะสมกับสถานะช่องสัญญาณ อัลกอริทึมทั้งที่ใช้ในการถอดรหัสเทอร์โบและที่ใช้ในการตรวจวัดสถานะช่องสัญญาณของเบิร์สต์ดีเทกเตอร์จะเป็นแบบ BCJR MAP การประมาณค่าความน่าจะเป็นของการเปลี่ยนสถานะช่องสัญญาณสามารถใช้อัลกอริทึมแบบบอม-เวลซ์ ผลที่ได้จากการจำลองแบบการถอดรหัสแสดงให้เห็นว่าสมรรถนะของระบบถอดรหัสที่เสนอนี้ เมื่อวัดเป็นอัตราความผิดพลาดบิต มีค่าดีกว่าสมรรถนะของการถอดรหัสเทอร์โบแบบธรรมดาทุกกรณี

สถาบันวิทยบริการ  
 จุฬาลงกรณ์มหาวิทยาลัย



Project Title	Development of A Turbo Decoding Algorithm for A Two-State Markov Channel with Gaussian Noise using A Burst Detector
Name of The Investigators	Suvit Nakpeerayuth Assist. Prof. Dr. Lunchakorn Wuttisittikulkuj
Year	2002

### Abstract

In this research, a decoding system comprising a turbo decoder and a burst detector is proposed for a two-state additive white Gaussian noise Markov channel in which one state represents good state with high  $E_b/N_0$  and the other state represents bad state or burst state with low  $E_b/N_0$ . As the Gaussian noise model allows soft information from the channel to be used, it enables an improved performance over the commonly used binary-input binary-output channel model in which hard decision of the output is performed before decoding. In the proposed decoding structure, the burst detector is employed to estimate the probabilities of the channel states and pass them on to the turbo decoder, so that these extra informations can assist the turbo decoder to perform a more effective decision for each received symbol by adjusting the likelihood function properly in accordance with the channel states. Two key aspects of this decoding system highlighted in the thesis are as follows. Firstly, only extrinsic information of the channel states should be passed from the burst detector to the turbo decoder. Secondly, the entire information both the intrinsic information and the extrinsic information of the estimated transition probabilities of the channel states should be passed from the Baum-Welch algorithm block to the MAP algorithm block of the burst detector. Through computer simulations, it is found that the performance of this decoding system is clearly more superior to the conventional turbo decoder in all aspects.

## สารบัญ

	หน้า
กิตติกรรมประกาศ.....	ii
บทคัดย่อภาษาไทย.....	iii
บทคัดย่อภาษาอังกฤษ.....	iv
สารบัญ.....	v
สารบัญตาราง.....	vii
สารบัญรูป.....	viii
บัญชีสัญลักษณ์.....	x
หัวข้อที่	
1. คำนำ.....	1
2. การสำรวจแนวความคิดและงานวิจัยที่เกี่ยวข้อง.....	2
3. แนวความคิดของงานวิจัยนี้.....	3
4. วัตถุประสงค์ของโครงการ.....	5
5. วิธีการดำเนินการวิจัย.....	6
6. ผลของการวิจัย.....	6
6.1 การวิเคราะห์การตรวจวัดสถานะช่องสัญญาณของเบรสต์ดีเทกเตอร์.....	6
6.2 การวิเคราะห์รหัสเทอร์โบ.....	11
6.2.1 การเข้ารหัสเทอร์โบ.....	11
6.2.2 การส่งรหัสเทอร์โบผ่านช่องสัญญาณแบบมัลติพาส.....	13
6.2.3 การวิเคราะห์การถอดรหัสเทอร์โบ.....	14
6.3 การประมาณค่าพารามิเตอร์ของช่องสัญญาณ.....	21
6.3.1 การประมาณค่าความน่าจะเป็นของการเปลี่ยนสถานะช่องสัญญาณ.....	21
6.3.2 การประมาณค่าความแปรปรวนของสัญญาณรบกวน.....	23
6.4 ระบบถอดรหัสที่เสนอ.....	24
6.4.1 รายละเอียดของการวนซ้ำในระบบถอดรหัสที่เสนอ.....	24
6.4.2 การเปรียบเทียบกับถอดรหัสแบบต่าง ๆ.....	25
6.5 ผลการทดสอบสมรรถนะของระบบถอดรหัสที่เสนอ.....	32
6.6 ผลของขนาดบล็อกข้อมูลที่มีต่อสมรรถนะของระบบถอดรหัสที่เสนอ.....	37

## สารบัญ (ต่อ)

หัวข้อที่	หน้า
6.7 สมรรถนะการตรวจวัดเบรสต์ของเบรสต์ดีเทกเตอร์.....	39
7. บทสรุป.....	42
8. ข้อเสนอแนะ.....	43
รายการอ้างอิง.....	44



สถาบันวิทยบริการ  
จุฬาลงกรณ์มหาวิทยาลัย

## สารบัญตาราง

	หน้า
ตารางที่ 1	การถอดรหัสแบบต่าง ๆ ที่ใช้เปรียบเทียบกันในการวิจัย.....26
ตารางที่ 2	จำนวนของการคูณที่ใช้ในแต่ละกระบวนการของการถอดรหัสแบบต่าง ๆ.....30
ตารางที่ 3	จำนวนของการบวกที่ใช้ในแต่ละกระบวนการของการถอดรหัสแบบต่าง ๆ.....30
ตารางที่ 4	จำนวนของการคูณและการบวกที่ใช้ในการถอดรหัสแบบต่าง ๆ.....31 เมื่อ $D=2$ , $C=2$ , และ $M=8$
ตารางที่ 5	การเปรียบเทียบระบบถอดรหัสแบบที่ 3 และ 4 เมื่อกำหนดความซับซ้อนให้ใกล้เคียงกันที่ $\text{high } E_b/N_0 = 6 \text{ dB}$ , $\text{low } E_b/N_0 = -4 \text{ dB}$ , $P_b = 0.01$ และ $P_g = 0.03$ ( $D=2$ , $C=2$ , $M=2^3=8$ ).....42

สถาบันวิทยบริการ  
จุฬาลงกรณ์มหาวิทยาลัย



## สารบัญรูป

	หน้า
รูปที่ 1 แบบจำลองของช่องสัญญาณแบบมัลติพาสสองสถานะที่มีสัญญาณ รบกวนแบบเกาส์	4
รูปที่ 2 การส่งข้อมูลผ่านช่องสัญญาณแบบมัลติพาสสองสถานะที่มีสัญญาณ รบกวนแบบเกาส์	6
รูปที่ 3 การแจกแจงขององค์ประกอบต่าง ๆ ของฟังก์ชันความน่าจะเป็นจริงที่ใช้ใน เบิร์ตดีเทกเตอร์	9
รูปที่ 4 การรับและส่งข่าวสารของเบิร์ตดีเทกเตอร์	11
รูปที่ 5 การเข้ารหัสเทอร์โบ	12
รูปที่ 6 ตัวอย่างของการเข้ารหัสเทอร์โบที่มีอัตราการเข้ารหัส 1/3	13
รูปที่ 7 การส่งรหัสเทอร์โบผ่านช่องสัญญาณแบบมัลติพาส	13
รูปที่ 8 การแจกแจงขององค์ประกอบต่าง ๆ ของฟังก์ชันความน่าจะเป็นจริงที่ใช้ใน ตัวถอดรหัสเทอร์โบ	17
รูปที่ 9 ตัวถอดรหัสเทอร์โบที่มีอัตราการเข้ารหัส 1/3	20
รูปที่ 10 โครงสร้างของตัวถอดรหัสย่อย	20
รูปที่ 11 โครงสร้างของระบบถอดรหัสที่เสนอและการประมาณค่าพารามิเตอร์ของ ช่องสัญญาณ	24
รูปที่ 12 สมรรถนะของระบบถอดรหัสต่าง ๆ เมื่อขนาดของบล็อกข้อมูลเป็น 300 บิต ค่า $p_b = 0.1$ และ $p_g = 0.3$	34
รูปที่ 13 สมรรถนะของระบบถอดรหัสต่าง ๆ เมื่อขนาดของบล็อกข้อมูลเป็น 300 บิต ค่า $p_b = 1/30$ และ $p_g = 0.1$	34
รูปที่ 14 สมรรถนะของระบบถอดรหัสต่าง ๆ เมื่อขนาดของบล็อกข้อมูลเป็น 300 บิต ค่า $p_b = 0.01$ และ $p_g = 0.03$	35
รูปที่ 15 สมรรถนะของระบบถอดรหัสต่าง ๆ เมื่อขนาดของบล็อกข้อมูลเป็น 2400 บิต ค่า $p_b = 0.1$ และ $p_g = 0.3$	35
รูปที่ 16 สมรรถนะของระบบถอดรหัสต่าง ๆ เมื่อขนาดของบล็อกข้อมูลเป็น 2400 บิต ค่า $p_b = 1/30$ และ $p_g = 0.1$	36

## สารบัญรูป (ต่อ)

	หน้า
รูปที่ 17 สมรรถนะของระบบถอดรหัสต่าง ๆ เมื่อขนาดของบล็อกข้อมูลเป็น 2400 บิต ค่า $p_b = 0.01$ และ $p_g = 0.03$ .....	36
รูปที่ 18 การเปรียบเทียบสมรรถนะของระบบถอดรหัสที่เสนอเมื่อไม่ทราบ พารามิเตอร์ของช่องสัญญาณ โดยบล็อกข้อมูลมีขนาดเป็น 300, 900 และ 2400 บิต ค่า $p_b = 0.1$ และ $p_g = 0.3$ .....	38
รูปที่ 19 การเปรียบเทียบสมรรถนะของระบบถอดรหัสที่เสนอเมื่อไม่ทราบ พารามิเตอร์ของช่องสัญญาณ โดยบล็อกข้อมูลมีขนาดเป็น 300, 900 และ 2400 บิต ค่า $p_b = 1/30$ และ $p_g = 0.1$ .....	38
รูปที่ 20 การเปรียบเทียบสมรรถนะของระบบถอดรหัสที่เสนอเมื่อไม่ทราบ พารามิเตอร์ของช่องสัญญาณ โดยบล็อกข้อมูลมีขนาดเป็น 300, 900 และ 2400 บิต ค่า $p_b = 0.01$ และ $p_g = 0.03$ .....	39
รูปที่ 21 การเปรียบเทียบสมรรถนะของเบรสต์ดีเทกเตอร์เมื่อทราบและไม่ทราบ พารามิเตอร์ของช่องสัญญาณ โดยบล็อกข้อมูลมีขนาดเป็น 2400 บิต และ $(p_b, p_g)$ มีค่าเป็น (0.1, 0.3), (1/30, 0.1) และ (0.01, 0.03).....	40
รูปที่ 22 การเปรียบเทียบสมรรถนะของเบรสต์ดีเทกเตอร์เมื่อไม่ทราบพารามิเตอร์ ของช่องสัญญาณ โดยบล็อกข้อมูลมีขนาดเป็น 300, 900 และ 2400 บิต และ $(p_b, p_g)$ มีค่าเป็น (0.1, 0.3), (1/30, 0.1) และ (0.01, 0.03).....	41

## บัญชีสัญลักษณ์

$u_n$	บิตข้อมูลที่ $n$
$O_i$	สิ่งที่สังเกตของตัวเข้ารหัสย่อยที่ $i$
$\pi_i$	ฟังก์ชันอินเวอร์สลิฟเวอร์สำหรับตัวเข้ารหัสย่อยที่ $i$
$\lambda$	ฟังก์ชันอินเวอร์สลิฟเวอร์ช่องสัญญาณ
$Z_k$	สัญลักษณ์อินพุตของช่องสัญญาณที่เวลา $k$
$R_k$	สัญญาณที่ได้รับของสัญลักษณ์อินพุต $Z_k$ ที่เวลา $k$
$\tilde{Z}_k$	สัญญาณของ $Z_k$
$\Delta$	เขตของสัญลักษณ์ที่ถูกส่งเข้า ไปยังอินพุตของช่องสัญญาณ
$d$	สมาชิกของ $\Delta$
$\Theta$	เขตของสถานะช่องสัญญาณ
$D$	จำนวนสถานะช่องสัญญาณ หรือจำนวนสมาชิกของ $\Theta$
$q$	สมาชิกของ $\Theta$
$q'$	สมาชิกของ $\Theta$
$\zeta_i$	เขตของสถานะตัวเข้ารหัสย่อยที่ $i$
$M$	จำนวนสถานะของตัวเข้ารหัสย่อย หรือจำนวนสมาชิกของ $\zeta_i$ สำหรับกรณีที่ จำนวนสถานะของตัวเข้ารหัสย่อยทุกตัวมีค่าเท่ากัน
$C$	จำนวนของตัวเข้ารหัสย่อย
$s$	สมาชิกของ $\zeta_i$
$s'$	สมาชิกของ $\zeta_i$
$S_{i,n}$	สถานะของตัวเข้ารหัสย่อยที่ $i$ ที่เวลา $n$
$B_k$	สถานะช่องสัญญาณที่เวลา $k$
$C_R$	อัตราการเข้ารหัส
$E_b$	พลังงานต่อหนึ่งบิตข้อมูล
$E_s$	พลังงานต่อหนึ่งสัญลักษณ์ที่ส่งผ่านช่องสัญญาณ
$N_0$	ความหนาแน่นสเปกตรัมกำลังของสัญญาณรบกวนแบบความถี่ข้างเดียว
$\text{low } E_b / N_0$	อัตราส่วนของพลังงานเฉลี่ยต่อบิตข้อมูลต่อความหนาแน่นสเปกตรัมกำลังของ สัญญาณรบกวนเมื่อช่องสัญญาณอยู่ในสถานะเลวและความแปรปรวนของ สัญญาณรบกวนไม่อยู่ขึ้นกับอินพุต



### บัญชีสัญลักษณ์ (ต่อ)

$\text{high } E_b/N_0$	อัตราส่วนของพลังงานเฉลี่ยต่อบิตข้อมูลต่อความหนาแน่นสเปกตรัมกำลังของสัญญาณรบกวนเมื่อช่องสัญญาณอยู่ในสถานะดีและความแปรปรวนของสัญญาณรบกวนไม่ขึ้นอยู่กับอินพุต
$\sigma_{q,d}^2$	แทนความแปรปรวนแบบนอร์มัลไลซ์ของสัญญาณรบกวนแบบเกาส์เมื่อช่องสัญญาณอยู่ในสถานะ $q$ และอินพุตเป็น $d$
$\sigma_q^2$	ความแปรปรวนแบบนอร์มัลไลซ์ของสัญญาณรบกวนแบบเกาส์เมื่อช่องสัญญาณอยู่ในสถานะ $q$ และความแปรปรวนของสัญญาณรบกวนไม่ขึ้นอยู่กับอินพุต
$\sigma_q^2$	ค่าประมาณของ $\sigma_q^2$
$\sigma_{\text{bad}}^2$	ความแปรปรวนแบบนอร์มัลไลซ์ของสัญญาณรบกวนแบบเกาส์เมื่อช่องสัญญาณอยู่ในสถานะเลวและความแปรปรวนของสัญญาณรบกวนไม่ขึ้นอยู่กับอินพุต
$\sigma_{\text{good}}^2$	ความแปรปรวนแบบนอร์มัลไลซ์ของสัญญาณรบกวนแบบเกาส์เมื่อช่องสัญญาณอยู่ในสถานะดีและความแปรปรวนของสัญญาณรบกวนไม่ขึ้นอยู่กับอินพุต
$\text{SP}(Z_{k_1}^{k_2})$	ลำดับของฟังก์ชันความน่าจะเป็น (sequence of probability mass functions) ของอินพุตที่เวลา $k_1$ ถึงเวลา $k_2$
$P_b$	ความน่าจะเป็นของการเปลี่ยนสถานะจากสถานะดีไปยังสถานะเลว
$P_g$	ความน่าจะเป็นของการเปลี่ยนสถานะจากสถานะเลวไปยังสถานะดี
$\bar{P}(B_k = q   B_{k-1} = q')$	ค่าประมาณของความน่าจะเป็นของการเปลี่ยนจากสถานะ $q'$ ไปยังสถานะ $q$
$P(\text{good\_state})$	ความน่าจะเป็นที่ช่องสัญญาณจะอยู่ในสถานะดีเมื่อเกิดสภาวะคงตัว
$P(\text{bad\_state})$	ความน่าจะเป็นที่ช่องสัญญาณจะอยู่ในสถานะเลวเมื่อเกิดสภาวะคงตัว
$L(B_k)$	ข่าวสารรวมหรือฟังก์ชันลอการิทึมของอัตราส่วนไลค์ลิฮูดของสถานะช่องสัญญาณที่เวลา $k$
$L_{\text{channel}}(B_k)$	ข่าวสารจากช่องสัญญาณของสถานะช่องสัญญาณที่เวลา $k$
$L_{\text{ext}}(B_k)$	ข่าวสารเอ็กซ์ทรินซิกของสถานะช่องสัญญาณที่เวลา $k$
$L^i(u_n)$	ข่าวสารรวมหรือฟังก์ชันลอการิทึมของอัตราส่วนไลค์ลิฮูดของบิตข้อมูลที่ $n$ จากตัวถอดรหัสย่อยที่ $i$



### บัญชีสัญลักษณ์ (ต่อ)

$L_{\text{priori}}^i(u_n)$	ข่าวสารพริออริของบิตข้อมูลที่ $n$ จากตัวถอดรหัสย่อยที่ $i$
$L_{\text{channel}}^i(u_n)$	ข่าวสารจากช่องสัญญาณของบิตข้อมูลที่ $n$ จากตัวถอดรหัสย่อยที่ $i$
$L_{\text{ext}}^i(u_n)$	ข่าวสารเอ็กซ์ทรินซิกของบิตข้อมูลที่ $n$ จากตัวถอดรหัสย่อยที่ $i$
$L^i(X_{i,n})$	ข่าวสารรวมหรือฟังก์ชันลอการิทึมของอัตราส่วนโลก์ลิฮูดของบิตพาริตีที่ $n$ ของตัวเข้ารหัสย่อยที่ $i$
$L_{\text{channel}}^i(X_{i,n})$	ข่าวสารจากช่องสัญญาณของบิตพาริตีที่ $n$ ของตัวเข้ารหัสย่อยที่ $i$
$L_{\text{ext}}^i(X_{i,n})$	ข่าวสารเอ็กซ์ทรินซิกของบิตพาริตีที่ $n$ ของตัวเข้ารหัสย่อยที่ $i$
$L(B_k   B_{k-1} = q')$	ข่าวสารรวมของการประมาณค่าความน่าจะเป็นของการเปลี่ยนสถานะช่องสัญญาณ
$L_{\text{priori}}(B_k   B_{k-1} = q')$	ข่าวสารพริออริของการประมาณค่าความน่าจะเป็นของการเปลี่ยนสถานะช่องสัญญาณ
$L_{\text{ext}}(B_k   B_{k-1} = q')$	ข่าวสารเอ็กซ์ทรินซิกของการประมาณค่าความน่าจะเป็นของการเปลี่ยนสถานะช่องสัญญาณ
$a_k(q)$	ความน่าจะเป็นที่ช่องสัญญาณจะอยู่ในสถานะ $q$ ที่เวลา $k$ เมื่อกวาดไปข้างหน้าบนแผนภาพเทรลลิส
$b_k(q)$	ความน่าจะเป็นที่ช่องสัญญาณจะอยู่ในสถานะ $q$ ที่เวลา $k$ เมื่อกวาดจากข้างหลังบนแผนภาพเทรลลิส
$c_k(q', q)$	ฟังก์ชันเมทริกสาขาของการเปลี่ยนจากสถานะ $q'$ ไปยังสถานะ $q$ ที่เวลา $k$ ของช่องสัญญาณ
$\alpha_{i,n}(s)$	ความน่าจะเป็นที่ตัวเข้ารหัสย่อยที่ $i$ จะอยู่ในสถานะ $s$ ที่เวลา $n$ เมื่อกวาดไปข้างหน้าบนแผนภาพเทรลลิส
$\beta_{i,n}(s)$	ความน่าจะเป็นที่ตัวเข้ารหัสย่อยที่ $i$ จะอยู่ในสถานะ $s$ ที่เวลา $n$ เมื่อกวาดจากข้างหลังบนแผนภาพเทรลลิส
$\gamma_{i,n}(s', s)$	ฟังก์ชันเมทริกสาขาของการเปลี่ยนจากสถานะ $s'$ ไปยังสถานะ $s$ ที่เวลา $n$ ของตัวเข้ารหัสย่อยที่ $i$

## 1. คำนำ

ในปัจจุบันอุปกรณ์สื่อสารแบบไร้สายทวีบทบาทความสำคัญในระบบโทรคมนาคมมากขึ้น เนื่องจากพหุภาคีสามารถนำไปใช้งานในที่ต่าง ๆ ได้ภายในขอบเขตของการให้บริการ การวิจัยและพัฒนาาระบบสื่อสารแบบไร้สายจึงได้รับความสนใจอย่างมากเพื่อที่จะปรับปรุงประสิทธิภาพให้รองรับการบริการต่าง ๆ ที่จะมามีมากขึ้นในอนาคต ปัญหาที่สำคัญอย่างหนึ่งของการวิจัยและพัฒนา ก็คือ ทำอย่างไรจึงจะส่งข้อมูลให้ภาครับ ได้อย่างถูกต้องในสภาพแวดล้อมที่ไม่แน่นอนของตัวกลางที่เป็นอากาศ ด้วยเหตุนี้จึงมีความจำเป็นที่จะต้องนำการเข้ารหัสช่องสัญญาณ (channel coding) มาใช้เพื่อลดความผิดพลาดในการส่งข้อมูลให้อยู่ในระดับที่ยอมรับได้และใช้งานได้

การเข้ารหัสช่องสัญญาณ (channel coding) เป็นวิธีการอย่างหนึ่งที่ใช้สำหรับลดอัตราความผิดพลาดในการส่งข้อมูล โดยอาศัยการเพิ่มจำนวนบิตพิเศษผนวกเข้ากับบิตข้อมูลแต่ละบิต ผลที่ได้นี้จะถูกเรียกว่าคำรหัส เมื่อปลายทางได้รับคำรหัส ปลายทางก็ต้องถอดรหัสเพื่อหาข้อมูลจริง ๆ ที่ได้ถูกส่งมา วิธีการของการถอดรหัสที่นิยมกันอย่างหนึ่งก็คือการเปรียบเทียบคำรหัสที่ได้รับกับคำรหัสที่เป็นไปได้ทั้งหมด เพื่อหาว่าต้นทางน่าจะส่งคำรหัสใดมา และจากคำรหัสที่ถอดได้นี้ก็จะสามารถถอดข้อมูลได้ในที่สุด เนื่องจากวิธีการถอดรหัสแบบนี้เป็นการค้นหาคำรหัสทั้งหมดที่เป็นไปได้ จึงทำให้อัตราความผิดพลาดของการถอดรหัสมีค่าต่ำที่สุด

เป็นที่ทราบกันดีว่าถ้าจะต้องการลดอัตราความผิดพลาดของข้อมูลก็จะต้องเพิ่มขนาดของคำรหัส แต่เนื่องจากความซับซ้อนและเวลาที่ใช้ของวิธีการถอดรหัสดังกล่าวข้างต้นเป็นสัดส่วนกับเลขยกกำลังของความยาวของคำรหัส จึงทำให้ความซับซ้อนและเวลาที่ใช้ในการถอดรหัสเพิ่มขึ้นอย่างมาก เมื่อคำรหัสมีความยาวมากขึ้น ดังนั้นสมรรถนะของการเข้าและถอดรหัสช่องสัญญาณ ในอดีตที่ผ่านมาจึงถูกจำกัดด้วยความซับซ้อนและเวลาที่ใช้ในการถอดรหัส

ในปี ค.ศ. 1993 ทีมนักวิจัยซึ่งประกอบด้วย C. Berrou, A. Glavieux, และ P. Thitimajshima [1] ได้เสนอรหัสแบบใหม่ที่ชื่อว่ารหัสเทอร์โบ ในรายงานการประชุมวิชาการ IEEE International Conference on Communications ที่เมืองเจนีวา ประเทศสวิตเซอร์แลนด์ รหัสเทอร์โบนี้สามารถให้สมรรถนะเข้าใกล้ขีดจำกัดของแชนนอน (Shannon limit) ด้วยวิธีการเข้าและถอดรหัสอย่างง่าย ๆ ไม่ซับซ้อน โดยตัวเข้ารหัสเทอร์โบจะประกอบด้วยตัวเข้ารหัสย่อยแบบคอนโวลูชันที่มีการป้อนกลับตั้งแต่สองตัวขึ้นไปมาต่อแบบขนานกันด้วยวงจรอินเทอร์ลิฟเวอร์ และตัวถอดรหัสประกอบด้วยตัวถอดรหัสย่อยเป็นจำนวนเท่ากับตัวเข้ารหัสคอนโวลูชัน โดยตัวถอดรหัสย่อยแต่ละตัวจะถอดรหัสทีละบิต และเมื่อถอดรหัสเสร็จแล้วก็จะส่งข่าวสารของบิตข้อมูลเหล่านี้ให้กับตัวถอดรหัสย่อยอื่น ๆ เพื่อถอดรหัสต่อไป การถอดรหัสจะดำเนินไปเช่นนี้จนกว่าข่าวสารของบิตข้อมูลทั้งหมดจะถูกไข ด้วยวิธีเช่นนี้ความ



ซับซ้อนของการถอดรหัสจะแปรผันกับความยาวของคีย์ การเข้ารหัสเทอร์โบสามารถให้อัตราความผิดพลาดบิดที่ต่ำ แม้ว่าอัตราส่วนกำลังของสัญญาณต่อสัญญาณรบกวนจะมีค่าน้อย เมื่อเปรียบเทียบกับวิธีการเข้ารหัสแบบอื่น ๆ ที่ระดับของความซับซ้อนในการเข้ารหัสและถอดรหัสที่ใกล้เคียงกัน ด้วยเหตุนี้ในปัจจุบันการเข้ารหัสเทอร์โบจึงได้รับความนิยมอย่างมากสำหรับการเข้ารหัสของสัญญาณ และรหัสเทอร์โบยังได้ถูกบรรจุเข้าเป็นมาตรฐานของการเข้ารหัสในระบบการสื่อสารแบบไร้สายในยุคที่ 3

เนื่องจากอุปกรณ์สื่อสารแบบไร้สายไม่ได้ถูกใช้งานสูงจากพื้นโลกมากนัก จึงทำให้ไม่เพียงแต่จะได้รับการแทรกสอดจากสัญญาณของผู้ใช้รายอื่นเท่านั้น แม้แต่สัญญาณจากผู้ใช้รายเดียวกันก็ยังสามารถแทรกสอดกันได้ที่ภาครับ เนื่องจากคลื่นอาจเดินทางสะท้อนจากวัตถุต่าง ๆ เช่น อาคาร พื้นดิน หรืออาจจะหักเหจากชั้นบรรยากาศก่อนจะเดินทางมายังภาครับ สัญญาณของผู้ใช้รายเดียวกันที่มาจากวิธีที่แตกต่างกันนี้จะไปแทรกสอดกันทำให้อัตราส่วนกำลังของสัญญาณต่อสัญญาณรบกวนมีการเปลี่ยนแปลงตามเวลา และเป็นผลให้อัตราความผิดพลาดของข้อมูลที่ได้รับมีการเปลี่ยนแปลงตามเวลาด้วย

ในระบบสื่อสารแบบไร้สาย เหตุการณ์ที่อัตราส่วนกำลังของสัญญาณต่อสัญญาณรบกวนมีค่าต่ำ มักจะเกิดขึ้นอย่างต่อเนื่อง ทำให้การส่งข้อมูลในช่วงนี้มีโอกาสเกิดความผิดพลาดติดกันเป็นช่วงยาว การแก้ไขความผิดพลาดเช่นนี้ด้วยการเข้ารหัส โดยทั่วไปมักจะทำได้โดยไม่มีประสิทธิภาพ เนื่องจากการเข้ารหัส โดยทั่วไปถูกออกแบบให้แก้ไขความผิดพลาดแบบสุ่ม (random error) ดังนั้นจึงมีความจำเป็นต้องสลับลำดับของคีย์ที่ต้องการส่งด้วยวงจรถอกรีตและที่ภาครับก็ต้องสลับลำดับของคีย์ที่ได้รับ ให้กลับคืนมาดังเดิมด้วยวงจรถอกรีตก่อนที่จะนำไปถอดรหัส ด้วยวิธีการเช่นนี้ความผิดพลาดก็จะถูกกระจายออก ไม่กระจุกตัวอยู่ด้วยกัน ทำให้การเข้ารหัสและถอดรหัสสามารถกระทำได้อย่างมีประสิทธิภาพ อย่างไรก็ตามเมื่ออัตราส่วนกำลังของสัญญาณต่อสัญญาณรบกวนมีค่าต่ำมากหรือเกิดขึ้นเป็นระยะเวลาสั้น ก็อาจทำให้สมรรถนะของการเข้ารหัสและถอดรหัสที่ได้ด้อยลง ไม่ดีเพียงพอสำหรับการใช้งาน จึงทำให้มีแนวคิดที่จะนำข่าวสารจากช่องสัญญาณมาใช้ เพื่อเพิ่มสมรรถนะการถอดรหัสให้ดีขึ้น

## 2. การสำรวจแนวความคิดและงานวิจัยที่เกี่ยวข้อง

จากงานวิจัยที่ผ่านมาการวิเคราะห์ความผิดพลาดที่เกิดจากช่องสัญญาณที่มีค่าอัตราส่วนกำลังของสัญญาณต่อสัญญาณรบกวนเปลี่ยนแปลงตามเวลา มักใช้แบบจำลองแบบมาร์คอฟ (Markov model) ที่มีจำนวนสถานะจำกัด โดยที่ทั้งอินพุตและเอาต์พุตของช่องสัญญาณเป็นแบบไบนารี [2-5] สถานะที่แตกต่างกันจะให้อัตราความผิดพลาดในการส่งข้อมูลที่ไม่เหมือนกัน แบบจำลองนี้เป็นกรณีที่เอาต์พุต

ของช่องสัญญาณได้รับการตัดสินใจว่าสัญลักษณ์ที่ถูกส่งมาเป็นศูนย์หรือหนึ่งก่อนการถอดรหัส เราเรียกการตัดสินใจแบบนี้ว่า การตัดสินใจแบบฮาร์ด (hard decision) สำหรับเอาต์พุตของช่องสัญญาณ การตัดสินใจแบบนี้ก่อนการถอดรหัสจะทำให้ข่าวสารบางส่วนจากช่องสัญญาณสูญหายไป งานวิจัยในเอกสารอ้างอิง [2-3] และ [5] กล่าวถึงตัวถอดรหัสที่มีการป้อนกลับ (decision feedback decoder) ซึ่งจะใช้การตัดสินใจของสัญลักษณ์ก่อนหน้าเพื่อประมาณความน่าจะเป็นของความผิดพลาดของสัญลักษณ์ (symbol error probability) ตัวต่อไปเพื่อลดความผิดพลาดของสัญลักษณ์ที่เกิดขึ้นจากช่องสัญญาณแบบมาร์คอฟที่มีจำนวนสถานะจำกัด โดยที่ทั้งอินพุตและเอาต์พุตเป็นแบบไบนารี วิธีการนี้มีข้อเสียเมื่อเกิดความผิดพลาดของสัญลักษณ์ติดต่อกันมาก และโดยเฉพาะเมื่อกำลังของสัญญาณรบกวนมีค่าสูงจะทำให้ความผิดพลาดของการถอดรหัสเกิดการแพร่กระจาย (error propagation) [4]

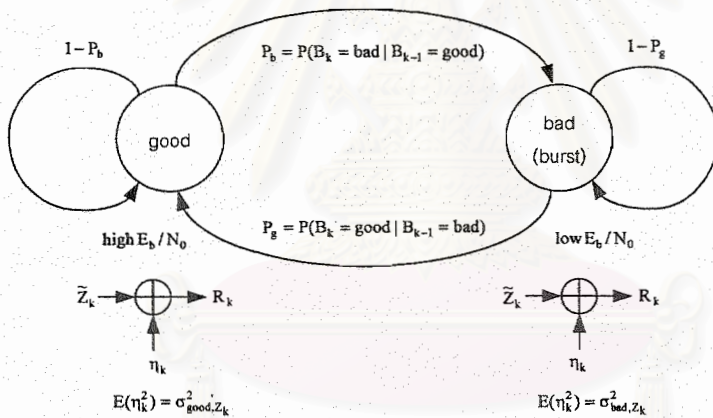
งานวิจัยในเอกสารอ้างอิง [4] ได้เสนอการถอดรหัสที่รวมแผนภาพเทรลลิส (trellis diagram) ของตัวเข้ารหัสและช่องสัญญาณเข้าด้วยกัน และเรียกแผนภาพนี้ว่า แผนภาพซูเปอร์เทรลลิส (super trellis diagram) ถึงแม้ว่าวิธีการนี้จะสามารถลดความผิดพลาดได้ แต่ก็ทำให้การถอดรหัสมีความซับซ้อนมาก งานวิจัยในเอกสารอ้างอิง [6] ได้เสนอให้แยกการตรวจวัดสถานะของช่องสัญญาณออกจากตัวถอดรหัสเทอร์โบ จึงทำให้ความซับซ้อนของการถอดรหัสเพิ่มขึ้นไม่มากนักเมื่อเปรียบเทียบกับงานวิจัยใน [4] โดยที่แบบจำลองของช่องสัญญาณเป็นแบบมาร์คอฟที่มีจำนวนสถานะจำกัดและมีสัญญาณรบกวนแบบเกาส์ ซึ่งทำให้ตัวถอดรหัสสามารถใช้ข่าวสารแบบซอฟต์ (soft information) จากช่องสัญญาณได้ อย่างไรก็ตาม วิธีการวิเคราะห์ในงานวิจัยดังกล่าวไม่สามารถตัดข่าวสารที่เรียกว่า ข่าวสารอินทรินซิก (intrinsic information) ออกจากข่าวสารของการตรวจวัดสถานะของช่องสัญญาณ ข่าวสารดังกล่าวจึงถูกป้อนกลับเข้าไปในตัวถอดรหัสเทอร์โบทำให้เกิดความซ้ำซ้อนของข่าวสารที่ใช้ในการถอดรหัส และยังทำให้การลู่เข้า (convergence) ของการถอดรหัสต้องใช้จำนวนรอบในการวนซ้ำมากกว่าที่จำเป็น และเป็นที่น่าทึ่งที่ทราบว่าถ้าไม่ตัดข่าวสารอินทรินซิกออกก็จะทำให้สมรรถนะของการถอดรหัสไม่เข้าใกล้สมรรถนะที่เหมาะสมที่สุด (optimal performance) [1, 9-12] ดังนั้นในงานวิจัยนี้จึงเสนอวิธีการวิเคราะห์ที่สามารถแยกข่าวสารดังกล่าวออกไป เพื่อให้ตัวถอดรหัสเทอร์โบและตัวตรวจวัดสถานะช่องสัญญาณสามารถแลกเปลี่ยนเฉพาะข่าวสารเอกซ์ทรินซิกได้

### 3. แนวความคิดของงานวิจัยนี้

งานวิจัยนี้เสนอให้นำข่าวสารของสถานะช่องสัญญาณมาใช้ปรับปรุงสมรรถนะของการถอดรหัสเทอร์โบ โดยให้ช่องสัญญาณมีแบบจำลองเป็นแบบมาร์คอฟสองสถานะที่มีสัญญาณรบกวนแบบเกาส์ ดังรูปที่ 1 และกำหนดให้ไม่มีการแทรกสอดระหว่างสัญลักษณ์ (intersymbol



interference) โดยสถานะหนึ่งแทนสถานะที่ช่องสัญญาณมีขนาดกำลังของสัญญาณรบกวนต่ำ ซึ่งจะเรียกว่า สถานะดี (good state) ในขณะที่อีกสถานะหนึ่งแทนสถานะที่ช่องสัญญาณมีขนาดกำลังของสัญญาณรบกวนสูงซึ่งเรียกว่า สถานะเลว (bad state) หรือเบิร์สต์ (burst) ความน่าจะเป็นของการเปลี่ยนสถานะช่องสัญญาณถูกกำหนดให้ไม่เปลี่ยนแปลงตามเวลาเช่นเดียวกับงานวิจัยที่ผ่านมา [2-6] ตัวที่ทำหน้าที่ตรวจวัดสถานะของช่องสัญญาณเรียกว่า เบิร์สต์ดีเทกเตอร์ (burst detector) เนื่องจากแบบจำลองของสัญญาณรบกวนเป็นแบบเกาส์ จึงทำให้เอาต์พุตของช่องสัญญาณที่ใช้นี้มีความต่อเนื่อง ซึ่งจะใช้เป็นอินพุตแบบซอฟต์ (soft input) ป้อนให้แก่ตัวถอดรหัสเทอร์โบและเบิร์สต์ดีเทกเตอร์ และเช่นเดียวกันเอาต์พุตหรือข่าวสารที่ได้จากการตัดสินใจของตัวถอดรหัสเทอร์โบและเบิร์สต์ดีเทกเตอร์ก็จะเป็นแบบซอฟต์เพื่อป้อนให้แก่กันสำหรับการทำงานในรอบถัดไปในงานวิจัยนี้ได้หาวิธีวิเคราะห์ทางคณิตศาสตร์ที่สามารถตัดข่าวสารแบบอินทรีนซิกออกจากข่าวสารของตัวถอดรหัสเทอร์โบและเบิร์สต์ดีเทกเตอร์ จึงทำให้สามารถแลกเปลี่ยนเฉพาะแต่ข่าวสารเอกซ์ทรีนซิกเท่านั้น



รูปที่ 1 แบบจำลองของช่องสัญญาณแบบมาร์คอฟสองสถานะที่มีสัญญาณรบกวนแบบเกาส์

เนื่องจากการตรวจวัดสถานะช่องสัญญาณของเบิร์สต์ดีเทกเตอร์อาศัยแบบจำลองของช่องสัญญาณแบบมาร์คอฟแยกจากตัวถอดรหัสเทอร์โบ จึงทำให้ไม่ต้องแก้ไขโครงสร้างของตัวถอดรหัสเทอร์โบมากนัก แต่ต้องหาวิธีวิเคราะห์ที่ทำให้ตัวถอดรหัสเทอร์โบสามารถนำข่าวสารการตรวจวัดสถานะช่องสัญญาณไปใช้งานได้ ข่าวสารนี้จะบอกว่าช่องสัญญาณอยู่ในสถานะใดด้วยความน่าจะเป็นเท่าไร ซึ่งทำให้ตัวถอดรหัสทราบว่าสัญญาณที่ได้รับจากช่องสัญญาณในเวลานั้นมีความเชื่อถือได้มากน้อยเพียงใด เป็นผลให้ตัวถอดรหัสเทอร์โบสามารถตัดสินใจข้อมูลได้ดีขึ้น และเนื่องจากสถานะต่างๆ ของช่องสัญญาณมีค่าความแปรปรวนของสัญญาณรบกวนที่แตกต่างกัน นั่นหมายความว่า การถอดรหัส

เทอร์โบที่เสนอนี้ใช้ค่าความแปรปรวนของสัญญาณรบกวนที่แตกต่างกันสำหรับสัญญาณแต่ละสัญญาณของสัญลักษณ์ที่ได้รับ ซึ่งแตกต่างจากการถอดรหัสเทอร์โบแบบดั้งเดิมที่ใช้ค่าความแปรปรวนของสัญญาณรบกวนเท่ากันตลอดในการถอดรหัส [1]

#### 4. วัตถุประสงค์ของโครงการ

- เพื่อศึกษา ปรับปรุง และหาวิธีลดความผิดพลาดของการถอดรหัสเทอร์โบร่วมกับเบิสต์ดีเทกเตอร์ (burst detector) สำหรับช่องสัญญาณแบบมาร์คอฟสองสถานะที่มีสัญญาณรบกวนแบบเกาส์ (two state Markov channel with additive white Gaussian noise)
- เพื่อพัฒนาโปรแกรมคอมพิวเตอร์สำหรับจำลองการทำงานของถอดรหัสเทอร์โบร่วมกับเบิสต์ดีเทกเตอร์เมื่อส่งข้อมูลผ่านช่องสัญญาณแบบมาร์คอฟสองสถานะที่มีสัญญาณรบกวนแบบเกาส์
- ทดสอบสมรรถนะของวิธีการถอดรหัสที่เสนอนี้เปรียบเทียบกับระบบที่ไม่มีการใช้เบิสต์ดีเทกเตอร์โดยอาศัยโปรแกรมคอมพิวเตอร์ที่พัฒนาขึ้น

#### 5. วิธีการดำเนินการวิจัย

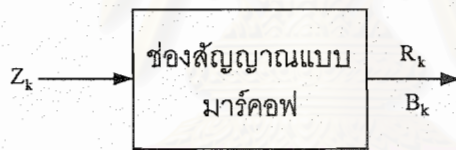
- 1 ศึกษาอัลกอริทึมที่ใช้ในการถอดรหัสเทอร์โบแบบต่าง ๆ ได้แก่ BCJR MAP (Bahl, Cocke, Jelinek, and Raviv Maximum A posteriori Probability algorithm) [7], Max-Log MAP [15] และ SOVA (Soft Output Viterbi Algorithm) [13-14]
- 2 หาวิธีวิเคราะห์ทางคณิตศาสตร์ และพัฒนาอัลกอริทึมสำหรับการถอดรหัสเทอร์โบ โดยใช้ซอฟต์แวร์ที่พัฒนาจากการตรวจวัดเบิสต์สำหรับช่องสัญญาณแบบมาร์คอฟสองสถานะที่มีสัญญาณรบกวนแบบเกาส์
- 3 เขียนโปรแกรมจำลองการทำงานส่วนต่าง ๆ ทั้งหมดของระบบ เพื่อใช้ทดสอบสมรรถนะของอัลกอริทึมสำหรับการถอดรหัสเทอร์โบรวมกับการตรวจวัดเบิสต์สำหรับช่องสัญญาณในข้อ 2 โดยใช้ภาษาซี
- 4 เปรียบเทียบสมรรถนะของอัลกอริทึมที่ได้ในข้อ 3 กับสมรรถนะของการถอดรหัสเทอร์โบที่ไม่ได้ใช้การตรวจวัดเบิสต์โดยวัดเป็นอัตราความผิดพลาดบิต และวิเคราะห์ผลที่ได้
- 5 จัดทำเอกสารการวิจัยฉบับสมบูรณ์

## 6. ผลของการวิจัย

หัวข้อนี้แสดงผลของการวิจัยซึ่งประกอบด้วย การวิเคราะห์การตรวจวัดสถานะช่องสัญญาณของเบิร์ตดีเทกเตอร์ การวิเคราะห์รหัสเทอร์โบ การประมาณค่าพารามิเตอร์ของช่องสัญญาณ ระบบถอดรหัสที่เสนอ การทดสอบสมรรถนะของระบบถอดรหัสที่เสนอ ผลของขนาดบล็อกข้อมูลที่มีต่อสมรรถนะของระบบถอดรหัสที่เสนอ และสมรรถนะการตรวจวัดเบิร์ตดีของเบิร์ตดีเทกเตอร์

### 6.1 การวิเคราะห์การตรวจวัดสถานะช่องสัญญาณของเบิร์ตดีเทกเตอร์

ในหัวข้อนี้จะแสดงการวิเคราะห์การตรวจวัดสถานะของช่องสัญญาณที่เวลาต่าง ๆ โดยให้แบบจำลองของการส่งข้อมูลผ่านช่องสัญญาณมาร์คอฟเป็นดังรูปที่ 2 รูปนี้แสดงการส่งลำดับของสัญลักษณ์อินพุต  $Z = (Z_1, Z_2, \dots, Z_{K-1}, Z_K)$  ผ่านช่องสัญญาณ และที่ด้านรับ ลำดับของสัญญาณเอาต์พุตที่ได้รับเป็น  $R = (R_1, R_2, \dots, R_{K-1}, R_K)$  เมื่อ  $K$  คือจำนวนสัญลักษณ์ทั้งหมดและ  $R_k$  เป็นสัญญาณที่ได้รับของ  $Z_k$  และให้  $B = (B_1, B_2, \dots, B_{K-1}, B_K)$  เป็น ลำดับ ของ สถานะ ช่องสัญญาณ ที่ สอดคล้อง กับ เอาต์พุต  $R = (R_1, R_2, \dots, R_{K-1}, R_K)$



รูปที่ 2 การส่งข้อมูลผ่านช่องสัญญาณแบบมาร์คอฟสองสถานะที่มีสัญญาณรบกวนแบบเกาส์

การตรวจวัดสถานะช่องสัญญาณของเบิร์ตดีเทกเตอร์จะใช้วิธีการเปรียบเทียบค่าความน่าจะเป็นที่ช่องสัญญาณจะอยู่ในสถานะเลวต่อสถานะดีในรูปอัตราส่วน ซึ่งค่านี้จะถูกเรียกว่าฟังก์ชันลอการิทึมของอัตราส่วนความน่าจะเป็นจริง หรืออัตราส่วนลอกลีกลีฮูด (Log-Likelihood Ratio: LLR) ของสถานะช่องสัญญาณเมื่อกำหนดเงื่อนไขสัญลักษณ์ของอินพุต  $SP(Z)$  และเอาต์พุต  $R$  ของช่องสัญญาณ แสดงได้ดังสมการที่ (1)

$$L(B_k) = \log \frac{P(B_k = 1 | SP(Z), R)}{P(B_k = 0 | SP(Z), R)} \quad (1)$$

โดยที่

$$SP(Z) = (P(Z_1), P(Z_2), P(Z_3), \dots, P(Z_K))$$



สมการที่ (1) เป็นการเปรียบเทียบความน่าจะเป็นที่ช่องสัญญาณจะอยู่ในสถานะเลขที่เวลา  $k$  หรือ  $B_k = 1$  ต่อความน่าจะเป็นที่ช่องสัญญาณจะอยู่ในสถานะดีที่เวลา  $k$  หรือ  $B_k = 0$  เมื่อกำหนดค่าของความน่าจะเป็นของสัญลักษณ์อินพุตทั้งหมด  $SP(Z)$  และเอาต์พุตของช่องสัญญาณ  $R$  โดยค่าของ  $SP(Z)$  นี้ได้มาจากตัวถอดรหัสเทอร์โบซึ่งจะกล่าวในหัวข้อถัดไป

เมื่อใช้นิยามของความน่าจะเป็นแบบมีเงื่อนไข (conditional probability) [16] เราสามารถเปลี่ยนจากการใช้ความน่าจะเป็นแบบมีเงื่อนไขในสมการที่ (1) ไปเป็นความน่าจะเป็นร่วม (joint probability) ได้ดังนี้

$$\begin{aligned} L(B_k) &= \log \frac{P(B_k = 1 | SP(Z), R)}{P(B_k = 0 | SP(Z), R)} = \log \frac{P(B_k = 1, SP(Z), R) / P(SP(Z), R)}{P(B_k = 0, SP(Z), R) / P(SP(Z), R)} \\ &= \log \frac{P(B_k = 1, SP(Z), R)}{P(B_k = 0, SP(Z), R)} \end{aligned}$$

เมื่อใช้หลักการของความน่าจะเป็นแบบมาร์จินัล (marginal probability) [16] จะได้ผลดังสมการที่ (2)

$$L(B_k) = \log \frac{\sum_{q' \in \Theta} P(B_{k-1} = q', B_k = 1, SP(Z), R)}{\sum_{q' \in \Theta} P(B_{k-1} = q', B_k = 0, SP(Z), R)} \quad (2)$$

เมื่อ  $\Theta$  แทนเซตของสถานะช่องสัญญาณดังนี้

$$\Theta = \{\text{good, bad}\} = \{0, 1\}$$

และกำหนดให้  $q'$  และ  $q$  เป็นสมาชิกของ  $\Theta$

เมื่อใช้อัลกอริทึมแบบ BCJR MAP [7] จะได้ความสัมพันธ์ LLR ของสถานะช่องสัญญาณ เมื่อช่องสัญญาณไม่มีการแทรกสอดระหว่างสัญลักษณ์ ดังสมการที่ (3)

$$\begin{aligned} L(B_k) &= \log \frac{P(B_k = 1 | SP(Z), R)}{P(B_k = 0 | SP(Z), R)} = \log \frac{\sum_{q' \in \Theta} a_{k-1}(q') \cdot c_k(q', 1) \cdot b_k(1)}{\sum_{q' \in \Theta} a_{k-1}(q') \cdot c_k(q', 0) \cdot b_k(0)} \\ &= L_{\text{channel}}(B_k) + L_{\text{ext}}(B_k) \end{aligned} \quad (3)$$

เมื่อ

$$L_{\text{channel}}(B_k) = \log \frac{P(R_k | B_k = 1, P(Z_k))}{P(R_k | B_k = 0, P(Z_k))} \quad (4)$$

$$L_{\text{ext}}(B_k) = \log \frac{\sum_{q' \in \Theta} a_{k-1}(q') \cdot P(B_k = 1 | B_{k-1} = q') \cdot b_k(1)}{\sum_{q' \in \Theta} a_{k-1}(q') \cdot P(B_k = 0 | B_{k-1} = q') \cdot b_k(0)} \quad (5)$$



$$a_k(q) = \sum_{q' \in \mathcal{O}} c_k(q', q) \cdot a_{k-1}(q') \quad (6)$$

$$b_k(q) = \sum_{q' \in \mathcal{O}} c_{k+1}(q, q') \cdot b_{k+1}(q') \quad (7)$$

$$c_k(q', q) = P(B_k = q | B_{k-1} = q') \cdot P(R_k | B_k = q, P(Z_k)) \quad (8)$$

ความหมายของสมการที่ (3) ถึง (8) อธิบายตามลำดับได้ดังนี้ จากสมการที่ (3) ข่าวสารของสถานะช่องสัญญาณประกอบด้วยข่าวสารจากช่องสัญญาณ  $L_{\text{channel}}(B_k)$  และข่าวสารเอกซ์ทรินซิก  $L_{\text{ext}}(B_k)$  โดยที่ข่าวสาร  $L_{\text{channel}}(B_k)$  ขึ้นอยู่กับสัญญาณที่ได้รับที่เวลา  $k$  ในขณะที่ข่าวสารเอกซ์ทรินซิก  $L_{\text{ext}}(B_k)$  เป็นข่าวสารที่ขึ้นกับแบบจำลองของช่องสัญญาณและการวัดสัญญาณเอาต์พุตที่เวลาต่าง ๆ ยกเว้นที่เวลา  $k$

พจน์  $P(R_k | B_k = q, P(Z_k))$  ในสมการที่ (4) และ (8) คือฟังก์ชันความน่าจะเป็นจริง (likelihood function) ของสัญญาณที่ได้รับ  $R_k$  เมื่อกำหนดเงื่อนไขของสถานะช่องสัญญาณเป็น  $q$  และเงื่อนไขฟังก์ชันความน่าจะเป็นของสัญลักษณ์ที่ส่งเป็น  $P(Z_k)$  ซึ่งคำนวณได้จากข่าวสารเอกซ์ทรินซิกจากตัวถอดรหัสเทอร์โบ ฟังก์ชันความน่าจะเป็นจริงนี้สามารถคำนวณได้จากผลรวมของฟังก์ชันแบบเกาส์ที่ถ่วงน้ำหนักด้วยความน่าจะเป็นของสัญลักษณ์  $P(Z_k)$  ซึ่งพิสูจน์ได้จากทฤษฎีของเบย์ส์ (Bayes' theorem) [16] ดังสมการที่ (9)

$$\begin{aligned} P(R_k | B_k = q, P(Z_k)) &= \sum_{d \in \Delta} P(R_k, Z_k = d | B_k = q, P(Z_k)) \\ &= \sum_{d \in \Delta} P(Z_k = d | B_k = q, P(Z_k)) \cdot P(R_k | B_k = q, Z_k = d, P(Z_k)) \\ &= \sum_{d \in \Delta} P(Z_k = d) \cdot P(R_k | B_k = q, Z_k = d) \end{aligned} \quad (9)$$

เมื่อ

$$P(R_k | B_k = q, Z_k = d) = \frac{1}{\sqrt{2\pi\sigma_{q,d}^2}} \exp\left(-\frac{(R_k - \tilde{z}_k)^2}{2\sigma_{q,d}^2}\right)_{Z_k=d} \quad (10)$$

$\Delta$  แทนเซตของสัญลักษณ์อินพุตของช่องสัญญาณซึ่งประกอบด้วยบิตศูนย์และหนึ่ง และให้  $d$  เป็นสมาชิกของ  $\Delta$

$\tilde{z}_k$  แทนสัญญาณของบิต  $z_k$  ถ้า  $z_k$  เท่ากับบิตศูนย์จะให้  $\tilde{z}_k = -1$  และถ้า  $z_k$  เท่ากับบิตหนึ่งจะให้  $\tilde{z}_k = 1$

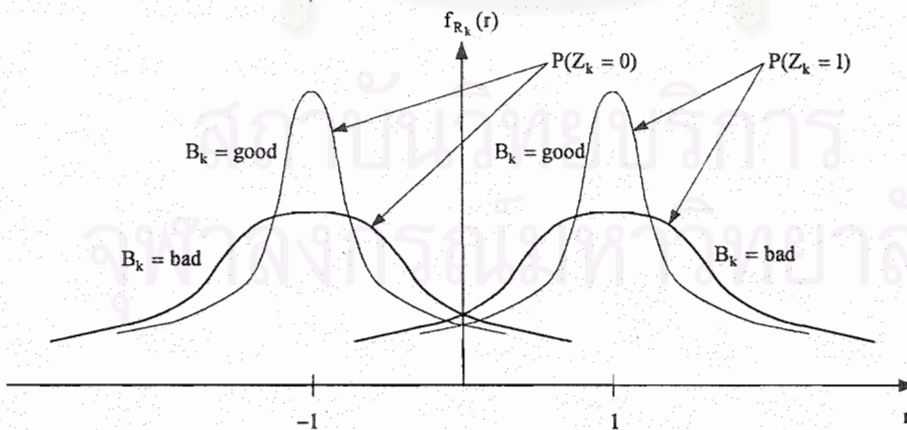
$\sigma_{q,d}^2$  แทนความแปรปรวนของสัญญาณรบกวนแบบนอแมลโลส เมื่อช่องสัญญาณอยู่ในสถานะ  $q$  และสัญลักษณ์อินพุตเป็น  $d$

พจน์  $P(R_k | B_k = q, Z_k = d, P(Z_k))$  สามารถลดรูปเป็นพจน์  $P(R_k | B_k = q, Z_k = d)$  ในสมการที่ (9) ได้ เนื่องจากเมื่อได้กำหนดเงื่อนไขของอินพุต  $Z_k = d$  แล้วทำให้เงื่อนไขของฟังก์ชันความน่าจะเป็น  $P(Z_k)$  ไม่จำเป็นอีกต่อไป ประกอบกับได้ใช้ฟังก์ชัน  $P(Z_k)$  นี้สำหรับการถ่วงน้ำหนักในสมการที่ (9) แล้ว

พจน์  $P(Z_k = d | B_k = q, P(Z_k))$  สามารถลดรูปเป็นพจน์  $P(Z_k = d)$  ในสมการที่ (9) ได้เนื่องจากเหตุการณ์ของสถานะช่องสัญญาณและเหตุการณ์ของสัญลักษณ์อินพุตเป็นอิสระแก่กัน และเมื่อไม่มีเงื่อนไขของสถานะช่องสัญญาณแล้วก็ไม่มีความจำเป็นต้องแสดงเงื่อนไขของฟังก์ชันความน่าจะเป็น  $P(Z_k)$  อีก เนื่องจากการแสดงสัญลักษณ์ทางคณิตศาสตร์ที่ซ้ำซ้อน โดยทั่วไปแล้วไม่จำเป็นที่จะต้องใส่เงื่อนไข  $P(Z_k)$  ในฟังก์ชันความน่าจะเป็นจริง  $P(R_k | B_k = q, P(Z_k))$  ก็ได้ แต่เหตุผลที่ใส่ก็เนื่องจากการต้องการเน้นว่ามีการใช้ฟังก์ชันความน่าจะเป็น  $P(Z_k)$  ซึ่งมีการเปลี่ยนแปลงตลอดในแต่ละรอบของการวนซ้ำ และถ้าพิจารณาฟังก์ชันความน่าจะเป็นจริง  $P(R_k | B_k = q)$  โดยไม่ได้ใส่เงื่อนไข  $P(Z_k)$  ด้วย ทฤษฎีของเบย์ส์ ก็จะพบว่าให้ผลเดียวกันดังนี้

$$\begin{aligned} P(R_k | B_k = q) &= \sum_{d \in \Delta} P(R_k, Z_k = d | B_k = q) \\ &= \sum_{d \in \Delta} P(Z_k = d | B_k = q) \cdot P(R_k | B_k = q, Z_k = d) \\ &= \sum_{d \in \Delta} P(Z_k = d) \cdot P(R_k | B_k = q, Z_k = d) \end{aligned}$$

การแจกแจงขององค์ประกอบต่าง ๆ ของฟังก์ชันความน่าจะเป็นจริงที่ใช้ในเบรสต์ดีเทกเตอร์แสดงได้ดังรูปที่ 3



รูปที่ 3 การแจกแจงขององค์ประกอบต่าง ๆ ของฟังก์ชันความน่าจะเป็นจริงที่ใช้ในเบรสต์ดีเทกเตอร์

พจน์  $a_k(q)$  และ  $b_k(q)$  ในสมการที่ (5) คือความน่าจะเป็นของสถานะช่องสัญญาณที่เวลา  $k$  เมื่อวาดแผนภาพเทอร์ลิสของช่องสัญญาณไปข้างหน้า (สมการที่ 6) และข้างหลัง (สมการที่ 7) ตามลำดับ

ในงานวิจัยนี้กำหนดให้ความน่าจะเป็นของการเปลี่ยนสถานะช่องสัญญาณไม่เปลี่ยนแปลงตามเวลาในช่วงเวลาของการส่งคำรหัสแต่ละบล็อก และกำหนดให้ช่องสัญญาณอยู่ในสภาวะคงตัวทางสถิติ (steady state) จะได้ว่าเงื่อนไขขอบเขต (boundary condition) ของ  $a_k(q)$  และ  $b_k(q)$  เป็นไปตามสมการที่ (11) และ (12) ดังนี้

$$a_0(q) = \begin{cases} P(\text{good\_state}) ; q = 0 \\ P(\text{bad\_state}) ; q = 1 \end{cases} \quad (11)$$

$$b_k(q) = \begin{cases} P(\text{good\_state}) ; q = 0 \\ P(\text{bad\_state}) ; q = 1 \end{cases} \quad (12)$$

โดย

$$P(\text{good\_state}) = \frac{P_g}{(P_g + P_b)} \quad (13)$$

$$P(\text{bad\_state}) = \frac{P_b}{(P_g + P_b)} \quad (14)$$

พจน์  $P(\text{good\_state})$  และ  $P(\text{bad\_state})$  คือความน่าจะเป็นที่ช่องสัญญาณจะอยู่ในสถานะดีและสถานะเลวตามลำดับ เมื่อช่องสัญญาณอยู่ในสภาวะคงตัว เมื่อ  $P_g$  คือความน่าจะเป็นที่ช่องสัญญาณจะเปลี่ยนจากสถานะดีไปยังสถานะเลว และ  $P_b$  คือความน่าจะเป็นที่ช่องสัญญาณจะเปลี่ยนจากสถานะเลวไปยังสถานะดี ซึ่งทั้ง  $P_g$  และ  $P_b$  ไม่ขึ้นกับเวลา  $k$

การที่กำหนดเงื่อนไขขอบเขตเป็นไปตามสมการที่ (11) และ (12) เนื่องจาก  $a_0(q)$  และ  $b_k(q)$  คือความน่าจะเป็นของสถานะช่องสัญญาณที่เวลาเริ่มต้นและสิ้นสุดของแผนภาพเทอร์ลิสตามลำดับ จึงทำให้  $a_0(q)$  และ  $b_k(q)$  เป็นความน่าจะเป็นของสถานะช่องสัญญาณเมื่อยังไม่ได้พิจารณาสัญญาณที่ได้รับเลย ซึ่งควรมีค่าเท่ากับความน่าจะเป็นของสถานะช่องสัญญาณเมื่อช่องสัญญาณอยู่ในสภาวะคงตัว

พจน์  $c_k(q',q)$  ในสมการที่ (8) คือฟังก์ชันเมตริกสาขา (branch metric function) ของแผนภาพเทอร์ลิสของช่องสัญญาณที่เวลา  $k$  ซึ่งประกอบด้วยความน่าจะเป็นของการเปลี่ยนสถานะช่องสัญญาณ  $P(B_k = q | B_{k-1} = q')$  และฟังก์ชันความน่าจะเป็นจริง  $P(R_k | B_k = q, P(Z_k))$  ดังนั้นกล่าวได้ว่าฟังก์ชันเมตริกสาขาคือความน่าจะเป็นของการเปลี่ยนสถานะช่องสัญญาณเมื่อกำหนดสัญญาณที่ได้รับ  $R_k$  และฟังก์ชันความน่าจะเป็น  $P(Z_k)$

ในกระบวนการวนซ้ำ ข่าวสารเอกซ์ทรินซิกจากเบิสต์ดีเทกเตอร์จะถูกใช้สำหรับประมาณค่าความน่าจะเป็นของช่องสัญญาณให้แก่ตัวถอดรหัสเทอร์โบดังสมการที่ (15) และ (16)



$$P(B_k = 1) = \frac{\exp(L_{\text{ext}}(B_k))}{1 + \exp(L_{\text{ext}}(B_k))} \quad (15)$$

$$P(B_k = 0) = \frac{1}{1 + \exp(L_{\text{ext}}(B_k))} \quad (16)$$

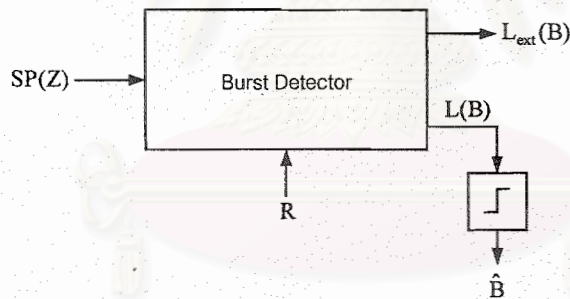
สมการที่ (15) และ (16) มาจากผลรวมของฟังก์ชันความน่าจะเป็นต้องมีค่าเท่ากับหนึ่ง

สาเหตุที่เบรสต์ดีเทกเตอร์ต้องส่งเฉพาะข่าวสารเอ็กซ์ทรินซิกให้กับตัวถอดรหัสเทอร์โบ เนื่องจากข่าวสาร  $L_{\text{channel}}(B_k)$  ที่ได้จากเบรสต์ดีเทกเตอร์เป็นข่าวสารที่ตัวถอดรหัสเทอร์โบมีอยู่แล้วเพียงแต่มีการถ่วงน้ำหนักที่ต่างกันไป ซึ่งพิจารณาได้จากฟังก์ชันความน่าจะเป็นจริงที่ใช้ในตัวถอดรหัสเทอร์โบดังสมการที่ (29) และค่าที่ใช้ในการถ่วงน้ำหนักในสมการที่ (9) ก็ได้มาจากการตัดสินใจของตัวถอดรหัสเทอร์โบ จึงไม่ควรส่งข่าวสารนี้ให้ตัวถอดรหัสเทอร์โบอีก และเมื่อระบบถอดรหัสเข้าสู่สถานะของช่องสัญญาณที่เวลา  $k$  สามารถตัดสินใจได้จากเงื่อนไขดังสมการที่ (17) และ (18)

$$B_k = 1 \quad \text{ถ้า } L(B_k) \geq 0 \quad (17)$$

$$B_k = 0 \quad \text{ถ้า } L(B_k) < 0 \quad (18)$$

การรับและส่งข่าวสารของเบรสต์ดีเทกเตอร์แสดงได้ดังรูปที่ 4



รูปที่ 4 การรับและส่งข่าวสารของเบรสต์ดีเทกเตอร์

## 6.2 การวิเคราะห์รหัสเทอร์โบ

หัวข้อนี้จะอธิบายถึงการเข้ารหัส การส่งคำรหัสผ่านช่องสัญญาณ และแสดงการวิเคราะห์การถอดรหัสเพื่อให้สามารถใช้ข่าวสารการตรวจวัดช่องสัญญาณของเบรสต์ดีเทกเตอร์ได้สำหรับงานวิจัยนี้

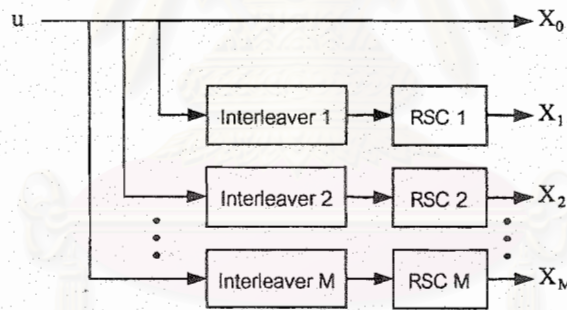
### 6.2.1 การเข้ารหัสเทอร์โบ

การเข้ารหัสเทอร์โบนั้นอาศัยการเข้ารหัสแบบมีระบบของตัวเข้ารหัสแบบคอนโวลูชันที่มีการป้อนกลับ (Recursive Systematic Convolutional encoder: RSC) ตั้งแต่สองตัวขึ้นไปมาต่อกันด้วยวงจร



อินเทอร์ลีฟเวอร์ดังรูปที่ 5 โดยทั่วไปแล้วตัวเข้ารหัสแบบคอนโวลูชันที่ใช้ไม่จำเป็นต้องเหมือนกัน บิตข้อมูลจะออกไปยังเอาต์พุตแบบมีระบบ (systematic output) โดยไม่มีการเข้ารหัส แต่จะถูกสลับลำดับก่อนที่จะเข้ารหัสแบบขนานด้วยตัวเข้ารหัสแบบคอนโวลูชันที่มีการป้อนกลับ การสลับลำดับของบิตข้อมูลจะใช้วงจรอินเทอร์ลีฟเวอร์ ในการเข้ารหัสนั้นบิตข้อมูลจะถูกแบ่งเป็นชุด แต่ละชุดของบิตข้อมูลจะถูกเรียกว่า บล็อกของบิตข้อมูล หรือบล็อกข้อมูล (data block) การเข้ารหัสจะกระทำทีละบล็อกข้อมูล โดยที่ขนาดของบล็อกข้อมูลจะเท่ากับขนาดของวงจรอินเทอร์ลีฟเวอร์

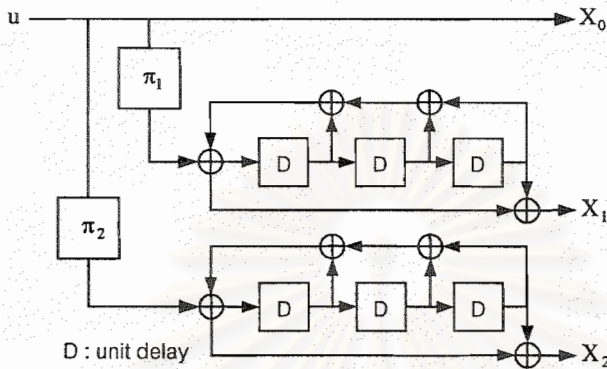
รูปที่ 6 เป็นตัวอย่างของตัวเข้ารหัสเทอร์โบที่มีอัตราการเข้ารหัส (coding rate) เป็น  $1/3$  ที่ใช้ในงานวิจัยนี้ ซึ่งประกอบด้วยเอาต์พุตแบบมีระบบและตัวเข้ารหัสแบบคอนโวลูชันที่มีการป้อนกลับที่เหมือนกันสองตัวมาเชื่อมต่อกันด้วยอินเทอร์ลีฟเวอร์ บล็อกข้อมูล  $u = (u_1, u_2, \dots, u_N)$  ขนาด  $N$  บิตจะถูกส่งออกไปยังเอาต์พุตแบบมีระบบ  $X_0 = (X_{0,1}, X_{0,2}, \dots, X_{0,N})$  โดยไม่มีการเข้ารหัส แต่จะถูกสลับลำดับด้วยวงจรอินเทอร์ลีฟเวอร์  $\pi_1(\cdot)$  และ  $\pi_2(\cdot)$  ก่อนเข้ารหัสแบบขนานด้วยตัวเข้ารหัสแบบคอนโวลูชันซึ่งให้อาต์พุต หรือ ลำดับ ของ พ ริ ดี บิต (sequence of parity bits) เป็น  $X_1 = (X_{1,1}, X_{1,2}, \dots, X_{1,N})$  และ  $X_2 = (X_{2,1}, X_{2,2}, \dots, X_{2,N})$  ตามลำดับ



รูปที่ 5 การเข้ารหัสเทอร์โบ

หลังจากเข้ารหัสบล็อกข้อมูลแล้วจะต้องส่งข้อมูลต่อท้ายซึ่งจะเรียกว่าบิตหาง (tail bit) เพื่อให้สถานะของตัวเข้ารหัสแบบคอนโวลูชันทั้งหมดเป็นศูนย์ แต่เนื่องจากตัวเข้ารหัสที่ใช้เป็นแบบตัวเข้ารหัสแบบคอนโวลูชันที่มีการป้อนกลับ จึงไม่สามารถทำให้สถานะของตัวเข้ารหัสย่อยทั้งหมดเป็นศูนย์พร้อมกันด้วยบิตหางชุดเดียวกัน ดังนั้นจำเป็นที่จะต้องใช้อบิตหางต่อท้ายเพื่อที่จะทำให้สถานะของตัวเข้ารหัสคอนโวลูชันเป็นศูนย์ทีละตัว ขณะที่ป้อนบิตหางให้แก่ตัวเข้ารหัสย่อยตัวใดตัวหนึ่ง ตัวเข้ารหัสย่อยตัวอื่น ๆ จะไม่มีการทำงานแต่ประการใด ในการส่งเข้ารหัสนั้นจำเป็นที่จะต้องส่งบิตหางและ

พริตบิตที่เกิดจากบิตทางไปด้วยโดยส่งต่อท้ายคำรหัส ซึ่งจะเรียกส่วนนี้ว่า ส่วนหางของคำรหัส (tail code) แบบรูปส่วนหางของคำรหัส (tail code pattern) จะมีความแตกต่างกันขึ้นอยู่กับข้อกำหนด

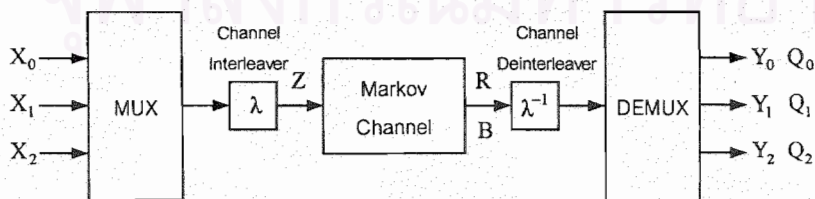


รูปที่ 6 ตัวอย่างของการเข้ารหัสเทอร์โบที่มีอัตราเข้ารหัส 1/3

6.2.2 การส่งรหัสเทอร์โบผ่านช่องสัญญาณแบบมัลติคอป

รูปที่ 7 แสดงการส่งรหัสเทอร์โบที่มีอัตราเข้ารหัส 1/3 ผ่านช่องสัญญาณแบบมัลติคอปที่ใช้ในการวิจัยนี้ ก่อนส่งคำรหัสเทอร์โบผ่านช่องสัญญาณคำรหัสเทอร์โบ ( $X_0, X_1, X_2$ ) จะถูกมัลติเพลกซ์ (multiplex) โดยมีมัลติเพลกเซอร์ (multiplexer: MUX) และสลับลำดับด้วยวงจรถออินเตอร์ลีฟเวอร์ช่องสัญญาณ (channel interleaver)  $\lambda$  เพื่อเป็นอินพุต  $Z$  ของช่องสัญญาณ

ที่ด้านรับ เอาต์พุต  $R$  ของช่องสัญญาณจะต้องถูกสลับลำดับอีกครั้งด้วยวงจรถออินเตอร์ลีฟเวอร์ช่องสัญญาณ (channel deinterleaver)  $\lambda^{-1}$  จากนั้นสัญญาณที่ได้จะถูกดีมัลติเพลกซ์ด้วยดีมัลติเพลกเซอร์ (demultiplexer: DEMUX) ได้เป็นคำรหัสที่ปลายทางได้รับ ( $Y_0, Y_1, Y_2$ ) และกำหนดให้  $Q_0, Q_1$  และ  $Q_2$  เป็นลำดับของสถานะช่องสัญญาณ  $B$  ที่ถูกดีอินเตอร์ลีฟและดีมัลติเพลกซ์ ดังนั้น  $Q_0, Q_1$  และ  $Q_2$  จึงเป็นลำดับของสถานะช่องสัญญาณที่สอดคล้องกับลำดับ  $Y_0, Y_1$  และ  $Y_2$  ตามลำดับ



รูปที่ 7 การส่งรหัสเทอร์โบผ่านช่องสัญญาณแบบมัลติคอป



### 6.2.3 การวิเคราะห์การถดถอยทศเทอร์โบ

เนื่องจากบิตข้อมูล  $u_n$  เป็นข้อมูลแบบไบนารีคือมีเพียงข้อมูล 0 และ 1 จึงสะดวกที่จะใช้ฟังก์ชันลอการิทึมของอัตราส่วนไลก์ลิฮูด (Log-Likelihood Ratio: LLR) หรืออัตราส่วนความน่าจะเป็นจริง เพื่อตัดสินใจบิตข้อมูล  $u_n$  จากค่าที่สังเกต (observation)  $O_i = (O_{i,1}, O_{i,2}, \dots, O_{i,N})$  สำหรับตัวถดถอยที่ย่อยที่  $i$  ดังสมการที่ (19)

$$L^i(u_n) = \log \frac{P(u_n = 1 | O_i)}{P(u_n = 0 | O_i)} \quad (19)$$

โดยค่าที่สังเกต  $O_i = (O_{i,1}, O_{i,2}, \dots, O_{i,N})$  ประกอบด้วยสัญญาณที่ได้รับและข่าวสารของสถานะช่องสัญญาณจากการตัดสินใจของเบรสต์ดีเทกเตอร์ดังสมการที่ (20) และเนื่องจากลำดับเวลาสำหรับช่องสัญญาณและลำดับเวลาสำหรับเครื่องเข้ารหัสไม่ได้เรียงลำดับเช่นเดียวกัน เพราะว่ามี การสลับลำดับข้อมูลด้วยวงจรอินเทอร์ลีฟเวอร์ประกอบกับการมัลติเพลกซ์คำรหัสก่อนส่งผ่านช่องสัญญาณ จึงใช้ตัวแปร  $n$  แทนเวลาของการเข้าและถดถอยบิตข้อมูล แทนที่จะใช้ตัวแปร  $k$

$$O_{i,n} = (Y_{0,\pi_i^{-1}(n)}, Y_{i,n}, P(Q_{0,\pi_i^{-1}(n)}), P(Q_{i,n})) \quad (20)$$

จากสมการที่ (20)  $O_{i,n}$  เป็นค่าที่สังเกตสำหรับตัวถดถอยที่ย่อยที่  $i$  ที่เวลา  $n$  ซึ่งประกอบด้วยสัญญาณของบิตข้อมูล  $Y_{0,\pi_i^{-1}(n)}$  และสัญญาณของพาริตีบิต  $Y_{i,n}$  และข่าวสารของสถานะช่องสัญญาณที่เกี่ยวข้องคือ  $P(Q_{0,\pi_i^{-1}(n)})$  และ  $P(Q_{i,n})$  ตามลำดับ

สมการที่ (19) เป็นการเปรียบเทียบความน่าจะเป็นที่บิตข้อมูลจะเป็นหนึ่งหรือศูนย์เมื่อกำหนดเงื่อนไขของค่าที่สังเกต  $O_i$  ถ้าความน่าจะเป็นที่บิตข้อมูลจะเป็นหนึ่งมากกว่าความน่าจะเป็นที่บิตข้อมูลจะเป็นศูนย์จะทำให้  $L^i(u_n)$  มีค่ามากกว่าศูนย์ ในทางตรงกันข้ามถ้าความน่าจะเป็นที่บิตข้อมูลจะเป็นศูนย์มีมากกว่าจะทำให้  $L^i(u_n)$  มีค่าน้อยกว่าศูนย์ เมื่อใช้นิยามของความน่าจะเป็นแบบมีเงื่อนไข (conditional probability) [16] กับสมการที่ (19) เราสามารถเปลี่ยนจากการใช้ความน่าจะเป็นแบบมีเงื่อนไข ไปเป็นความน่าจะเป็นร่วม (joint probability) ได้ดังนี้

$$\begin{aligned} L^i(u_n) &= \log \frac{P(u_n = 1 | O_i)}{P(u_n = 0 | O_i)} = \log \frac{P(u_n = 1, O_i) / P(O_i)}{P(u_n = 0, O_i) / P(O_i)} \\ &= \log \frac{P(u_n = 1, O_i)}{P(u_n = 0, O_i)} \end{aligned} \quad (21)$$

และเมื่อใช้อัลกอริทึมแบบ BCJR MAP [7] กับสมการที่ (21) จะให้ผลดังนี้

$$\begin{aligned} L^i(u_n) &= \log \frac{P(u_n = 1, O_i)}{P(u_n = 0, O_i)} \\ &= L_{\text{priori}}^i(u_n) + L_{\text{channel}}^i(u_n) + L_{\text{ext}}^i(u_n) \end{aligned} \quad (22)$$

เมื่อ

$$L_{\text{priori}}^i(u_n) = \log \frac{P^i(u_n = 1)}{P^i(u_n = 0)} \quad (23)$$

$$L_{\text{channel}}^i(u_n) = \log \frac{P(Y_{0,n} | u_n = 1, P(Q_{0,n}))}{P(Y_{0,n} | u_n = 0, P(Q_{0,n}))} \quad (24)$$

$$L_{\text{ext}}^i(u_{\pi_i^{-1}(n)}) = \log \frac{\sum_{(s',s): u_{\pi_i^{-1}(n)}=1} [\alpha_{i,n-1}(s') \cdot P(Y_{i,n} | X_{i,n}, P(Q_{i,n})) \cdot \beta_{i,n}(s)]}{\sum_{(s',s): u_{\pi_i^{-1}(n)}=0} [\alpha_{i,n-1}(s') \cdot P(Y_{i,n} | X_{i,n}, P(Q_{i,n})) \cdot \beta_{i,n}(s)]} \quad (25)$$

$(s',s)$  คือการเปลี่ยนแปลงสถานะของตัวเข้ารหัสย่อยจากสถานะ  $s'$  ไปยังสถานะ  $s$  สำหรับความหมายของสมการที่ (22) ถึง (25) รวมทั้งตัวแปรต่าง ๆ จะอธิบายไปตามลำดับ

ในสมการที่ (22) ข่าวสารของบิตข้อมูลประกอบด้วยข่าวสารพรีอริ (priori information)  $L_{\text{priori}}^i(u_n)$  ข่าวสารจากช่องสัญญาณ (channel information)  $L_{\text{channel}}^i(u_n)$  และข่าวสารเอกซ์ทรินซิก  $L_{\text{ext}}^i(u_n)$  โดยข่าวสาร  $L_{\text{priori}}^i(u_n)$  เป็นข่าวสารของบิตข้อมูลที่ทราบมาก่อนล่วงหน้าจากข่าวสารเอกซ์ทรินซิกของตัวถอดรหัสอื่น ๆ และเนื่องจากในงานวิจัยนี้กำหนดให้มีตัวเข้ารหัสย่อยสองตัวจึงทำให้มีตัวถอดรหัสย่อยสองตัว ดังนั้นตัวถอดรหัสย่อยทั้งสองจึงต้องแลกเปลี่ยนข่าวสารของบิตข้อมูลระหว่างกันในแต่ละรอบของการวนซ้ำ ดังสมการที่ (26.1) และ (26.2) [10,11]

$$L_{\text{priori}}^1(u_n) = L_{\text{ext}}^2(u_n) \quad (26.1)$$

$$L_{\text{priori}}^2(u_n) = L_{\text{ext}}^1(u_n) \quad (26.2)$$

สำหรับกรณีที่มีตัวถอดรหัสย่อยมากกว่าสองตัว วิธีการแลกเปลี่ยนข่าวสารระหว่างตัวถอดรหัสแสดงในเอกสารอ้างอิง [11]

จากสมการที่ (23) (26.1) และ (26.2) ความน่าจะเป็นพรีอริ  $P^i(u_n)$  คำนวณได้จากข่าวสารเอกซ์ทรินซิกของตัวถอดรหัสย่อยอื่น ๆ ดังสมการที่ (27) และ (28)



$$P^i(u_n = 1) = \frac{\exp(L_{\text{ext}}^j(u_n))}{1 + \exp(L_{\text{ext}}^j(u_n))} \quad (27)$$

$$P^i(u_n = 0) = \frac{1}{1 + \exp(L_{\text{ext}}^j(u_n))} \quad (28)$$

โดยถ้า  $i=1$  จะให้  $j=2$  และถ้า  $i=2$  จะให้  $j=1$

ข่าวสารจากช่องสัญญาณ  $L_{\text{channel}}^j(u_n)$  ในสมการที่ (24) เป็นข่าวสารที่ได้จากการวัดสัญญาณของบิต  $u_n$  จากช่องสัญญาณ ผลรวมของข่าวสารพรีอริและข่าวสารจากช่องสัญญาณถูกเรียกว่า ข่าวสารอินทรินซิก (intrinsic information)

ข่าวสาร  $L_{\text{ext}}^j(u_n)$  ในสมการที่ (25) เป็นข่าวสารที่ขึ้นกับโครงสร้างของตัวเข้ารหัสย่อยที่  $i$  เมื่อพิจารณาข่าวสารพรีอริและสัญญาณของบิตอื่น ๆ ยกเว้นของบิต  $u_n$

ผลรวมทางขวามือของพจน์เศษและส่วนของสมการที่ (25) จะกระทำเฉพาะการเปลี่ยนสถานะที่ทำให้บิตข้อมูลเป็นหนึ่งและศูนย์ตามลำดับ นอกจากนี้จะเห็นว่าการเปลี่ยนแปลงสถานะของตัวเข้ารหัสย่อยที่  $i$  ที่เวลา  $n$  จะตรงกับบิตข้อมูลที่เวลา  $\pi_i^{-1}(n)$  หรือ  $u_{\pi_i^{-1}(n)}$  เนื่องจากการสลับบิตข้อมูลด้วยวงจรมัลติเพลกซ์  $\pi_i(\cdot)$  เมื่อ  $\pi_i^{-1}(\cdot)$  คือฟังก์ชันผกผันของ  $\pi_i(\cdot)$

ฟังก์ชัน  $P(Y_{0,n} | X_{0,n} = d, P(Q_{0,n}))$  ในสมการที่ (24) และ  $P(Y_{i,n} | X_{i,n} = d, P(Q_{i,n}))$  ในสมการที่ (25) เป็นฟังก์ชันความน่าจะเป็นจริง (likelihood function) ของสัญญาณที่ได้รับ  $Y_{0,n}$  และ  $Y_{i,n}$  ตามลำดับเมื่อกำหนดเงื่อนไขของสัญลักษณ์ที่ส่งเป็น  $d$  และกำหนดฟังก์ชันความน่าจะเป็นของสถานะช่องสัญญาณ  $P(Q_{i,n})$  ซึ่งคำนวณได้จากข่าวสารเอ็กซ์ทรินซิกของเบิสต์ดีเทกเตอร์ ดังสมการที่ (15) และ (16)

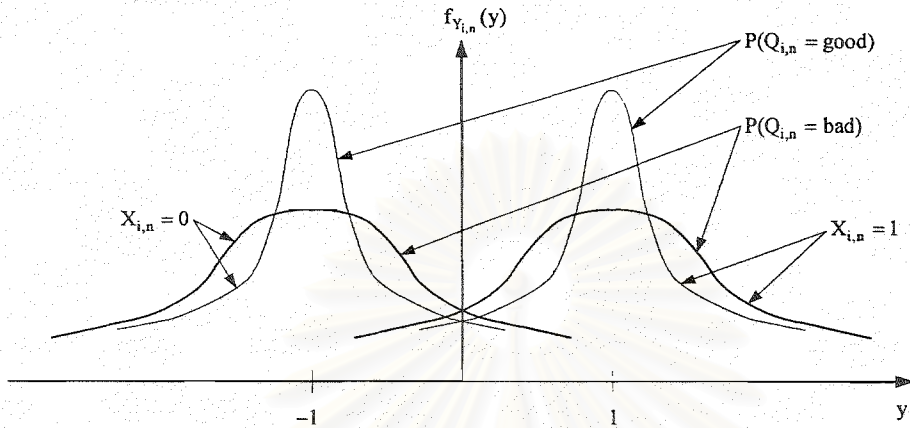
ฟังก์ชันความน่าจะเป็นจริงนี้คำนวณได้จากการผลรวมฟังก์ชันแบบเกาส์ที่ถ่วงน้ำหนักด้วยความน่าจะเป็นของสถานะช่องสัญญาณ ดังสมการที่ (29)

$$P(Y_{i,n} | X_{i,n} = d, P(Q_{i,n})) = \sum_{q \in \Theta} P(Q_{i,n} = q) \cdot P(Y_{i,n} | X_{i,n} = d, Q_{i,n} = q) \quad (29)$$

เมื่อ

$$P(Y_{i,n} | X_{i,n} = d, Q_{i,n} = q) = \frac{1}{\sqrt{2\pi\sigma_{q,d}^2}} \exp\left(-\frac{(Y_{i,n} - \tilde{X}_{i,n})^2}{2\sigma_{q,d}^2}\right)_{X_{i,n}=d} \quad (30)$$

การแจกแจงขององค์ประกอบต่าง ๆ ของฟังก์ชันความน่าจะเป็นจริงนี้แสดงได้ดังรูปที่ 8



รูปที่ 8 การแจกแจงขององค์ประกอบต่าง ๆ ของฟังก์ชันความน่าจะเป็นจริงที่ใช้ในตัวลดครหัสเทอร์โบ

พจน์  $\alpha_{i,n}(s)$  และ  $\beta_{i,n}(s)$  ในสมการที่ (25) คำนวณได้จาก

$$\alpha_{i,n}(s) = \sum_{s' \in \zeta_i} \gamma_{i,n}(s',s) \cdot \alpha_{i,n-1}(s') \quad (31)$$

$$\beta_{i,n}(s) = \sum_{s' \in \zeta_i} \gamma_{i,n+1}(s,s') \cdot \beta_{i,n+1}(s') \quad (32)$$

$$\begin{aligned} \gamma_{i,n}(s',s) &= P(S_{i,n} = s \mid S_{i,n-1} = s') \\ &\quad \cdot P(Y_{0,\pi_i^{-1}(n)} \mid S_{i,n-1} = s', S_{i,n} = s, P(Q_{0,\pi_i^{-1}(n)})) \\ &\quad \cdot P(Y_{i,n} \mid S_{i,n-1} = s', S_{i,n} = s, P(Q_{i,n})) \end{aligned} \quad (33)$$

เมื่อ

$\zeta_i$  เป็นเซตของสถานะของตัวเข้ารหัสย่อยที่  $i$  และกำหนดให้  $s, s' \in \zeta_i$

ในสมการที่ (31) พจน์  $\alpha_{i,n}(s)$  คือความน่าจะเป็นที่ตัวเข้ารหัสย่อยที่  $i$  จะอยู่ในสถานะ  $s$  ที่เวลา  $n$  เมื่อกวาดไปข้างหน้าบนแผนภาพเทรลลิส ในขณะที่  $\beta_{i,n}(s)$  ในสมการที่ (32) คือความน่าจะเป็นที่ตัวเข้ารหัสย่อยที่  $i$  จะอยู่ในสถานะ  $s$  ที่เวลา  $n$  เมื่อกวาดจากข้างหลังบนแผนภาพเทรลลิส และพจน์  $\gamma_{i,n}(s',s)$  ในสมการที่ (33) คือฟังก์ชันเมทริกสาขาของการเปลี่ยนจากสถานะ  $s'$  ไปยังสถานะ  $s$  ที่เวลา  $n$  ของตัวเข้ารหัสย่อยที่  $i$

เนื่องจากตัวเข้ารหัสทุกตัวถูกกำหนดให้เริ่มต้นและสิ้นสุดที่สถานะศูนย์ ดังนั้นเงื่อนไขขอบเขตของ  $\alpha_{i,0}(s)$  และ  $\beta_{i,N}(s)$  เป็นศูนย์เมื่อ  $s = 0$  และเป็นหนึ่งเมื่อ  $s \neq 0$

จากสมการที่ (33) ถ้าการเปลี่ยนแปลงสถานะของตัวเข้ารหัส ( $s', s$ ) เป็นไปไม่ได้ พจน์  $P(S_{i,n} = s | S_{i,n-1} = s')$  จะเป็นศูนย์ทำให้  $\gamma_{i,n}(s', s)$  เป็นศูนย์ด้วย แต่ถ้าการเปลี่ยนสถานะเป็นไปได้ พจน์แต่ละพจน์ทางขวามือของสมการที่ (33) สามารถคำนวณได้ดังนี้ [9]

$$P(S_{i,n} = s | S_{i,n-1} = s') = P^i(u_{\pi_i^{-1}(n)}) \quad (34)$$

$$P(Y_{0,\pi_i^{-1}(n)} | S_{i,n-1} = s', S_{i,n} = s, P(Q_{0,\pi_i^{-1}(n)})) = P(Y_{0,\pi_i^{-1}(n)} | u_{\pi_i^{-1}(n)}, P(Q_{0,\pi_i^{-1}(n)})) \quad (35)$$

$$P(Y_{i,n} | S_{i,n-1} = s', S_{i,n} = s, P(Q_{i,n})) = P(Y_{i,n} | X_{i,n}, P(Q_{i,n})) \quad (36)$$

เมื่อ  $u_{\pi_i^{-1}(n)}$  และ  $X_{i,n}$  เป็นบิตข้อมูลและพาริตีบิตของการเปลี่ยนสถานะ ( $s', s$ ) ที่เวลา  $n$  ของตัวเข้ารหัสย่อยที่  $i$  ดังนั้นสมการที่ (33) สามารถเขียนใหม่ได้ดังนี้

$$\gamma_{i,n}(s', s) = P^i(u_{\pi_i^{-1}(n)}) \cdot P(Y_{0,\pi_i^{-1}(n)} | u_{\pi_i^{-1}(n)}, P(Q_{0,\pi_i^{-1}(n)})) \cdot P(Y_{i,n} | X_{i,n}, P(Q_{i,n})) \quad (37)$$

จากสมการที่ (37) จะเห็นว่าฟังก์ชันเมตริกสาขา  $\gamma_{i,n}(s', s)$  คือความน่าจะเป็นที่ตัวเข้ารหัสย่อยที่  $i$  จะเปลี่ยนจากสถานะ  $s'$  ไปยังสถานะ  $s$  ที่เวลา  $n$  เมื่อกำหนดค่าความน่าจะเป็นของบิตข้อมูล  $u_{\pi_i^{-1}(n)}$  สัญญาณของบิตข้อมูลที่ได้รับ  $Y_{0,\pi_i^{-1}(n)}$  สัญญาณของพาริตีบิตที่ได้รับ  $Y_{i,n}$  และความน่าจะเป็นของสถานะของสัญญาณที่เกี่ยวข้องกับบิตทั้งสองหรือ  $P(Q_{0,\pi_i^{-1}(n)})$  และ  $P(Q_{i,n})$  ตามลำดับ ด้วยวิธีที่คล้ายคลึงกันเมื่อใช้อัลกอริทึมแบบ BCJR MAP สำหรับการตัดสินใจพาริตีบิต  $X_{i,n}$  จะได้ผลดังนี้

$$\begin{aligned} L^i(X_{i,n}) &= \log \frac{P(X_{i,n} = 1 | O_i)}{P(X_{i,n} = 0 | O_i)} = \log \frac{P(X_{i,n} = 1, O_i)}{P(X_{i,n} = 0, O_i)} \\ &= \log \frac{\sum_{(s', s): X_{i,n}=1} [\alpha_{i,n-1}(s') \cdot \gamma_{i,n}(s', s) \cdot \beta_{i,n}(s)]}{\sum_{(s', s): X_{i,n}=0} [\alpha_{i,n-1}(s') \cdot \gamma_{i,n}(s', s) \cdot \beta_{i,n}(s)]} \\ &= L_{\text{channel}}^i(X_{i,n}) + L_{\text{ext}}^i(X_{i,n}) \end{aligned} \quad (38)$$

เมื่อ

$$L_{\text{channel}}^i(X_{i,n}) = \log \frac{P(Y_{i,n} | X_{i,n} = 1, P(Q_{i,n}))}{P(Y_{i,n} | X_{i,n} = 0, P(Q_{i,n}))} \quad (39)$$

$$L_{\text{ext}}^i(X_{i,n}) = \log \frac{\sum_{(s', s): X_{i,n}=1} [\alpha_{i,n-1}(s') \cdot P^i(u_{\pi_i^{-1}(n)}) \cdot P(Y_{0,\pi_i^{-1}(n)} | u_{\pi_i^{-1}(n)}, P(Q_{0,\pi_i^{-1}(n)})) \cdot \beta_{i,n}(s)]}{\sum_{(s', s): X_{i,n}=0} [\alpha_{i,n-1}(s') \cdot P^i(u_{\pi_i^{-1}(n)}) \cdot P(Y_{0,\pi_i^{-1}(n)} | u_{\pi_i^{-1}(n)}, P(Q_{0,\pi_i^{-1}(n)})) \cdot \beta_{i,n}(s)]} \quad (40)$$

ในกระบวนการวนซ้ำ ค่าความน่าจะเป็นของพาริตีบิตที่ใช้ในเบรสต์ดีเทกเตอร์คำนวณได้จากข่าวสารเอกซ์ทรีนซิกของพาริตีบิต ดังสมการที่ (41) และ (42)

$$P(X_{i,n} = 1) = \frac{\exp(L_{\text{ext}}^i(X_{i,n}))}{1 + \exp(L_{\text{ext}}^i(X_{i,n}))} \quad (41)$$

$$P(X_{i,n} = 0) = \frac{1}{1 + \exp(L_{\text{ext}}^i(X_{i,n}))} \quad (42)$$

เมื่อกระบวนการวนซ้ำสิ้นสุดลง บิตข้อมูล  $u_n$  สามารถถูกตัดสินใจได้จากข่าวสารรวมของบิตข้อมูลจากตัวถอดรหัสย่อยตัวใดตัวหนึ่ง ดังเงื่อนไขในสมการที่ (43) และ (44)

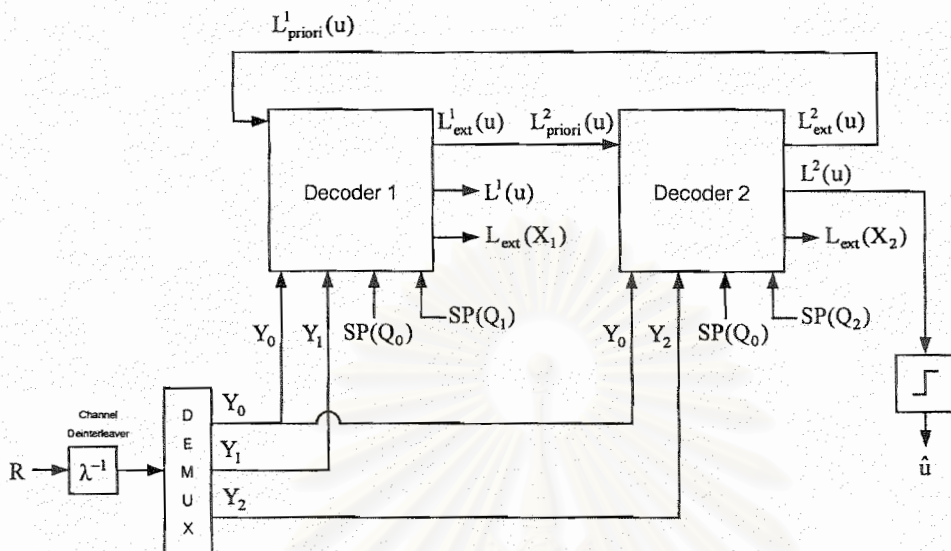
$$u_n = 1 \quad \text{ถ้า } L^i(u_n) \geq 0 \quad (43)$$

$$u_n = 0 \quad \text{ถ้า } L^i(u_n) < 0 \quad (44)$$

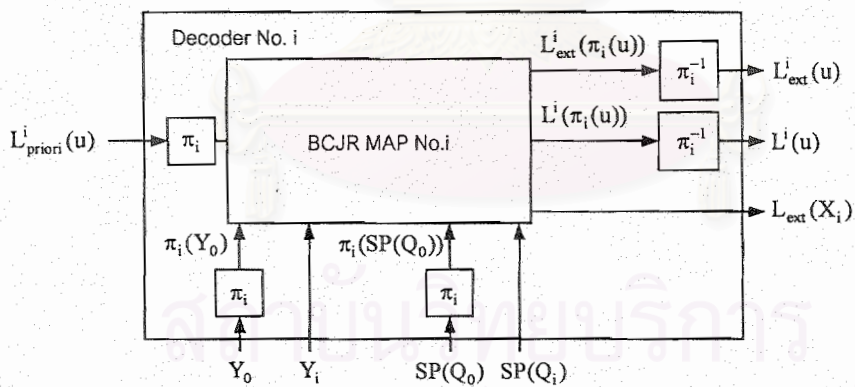
วงจรการทำงานของตัวถอดรหัสเทอร์โบที่มีอัตราเข้ารหัส  $1/3$  แสดงได้ดังรูปที่ 9 และโครงสร้างของตัวถอดรหัสย่อยแสดงได้ดังรูปที่ 10

สถาบันวิทยบริการ  
จุฬาลงกรณ์มหาวิทยาลัย





รูปที่ 9 ตัวถอดรหัสเทอร์โบที่มีอัตราเข้ารหัส 1/3



$$L^i(\pi_i(u)) = (L^i(u_{\pi_i^{-1}(1)}), L^i(u_{\pi_i^{-1}(2)}), \dots, L^i(u_{\pi_i^{-1}(N)}))$$

$$L^i_{ext}(\pi_i(u)) = (L^i_{ext}(u_{\pi_i^{-1}(1)}), L^i_{ext}(u_{\pi_i^{-1}(2)}), \dots, L^i_{ext}(u_{\pi_i^{-1}(N)}))$$

รูปที่ 10 โครงสร้างของตัวถอดรหัสย่อย

### 6.3 การประมาณค่าพารามิเตอร์ของช่องสัญญาณ

หัวข้อนี้จะกล่าวถึงวิธีการประมาณค่าพารามิเตอร์ของช่องสัญญาณซึ่งประกอบด้วย ค่าความน่าจะเป็นของการเปลี่ยนสถานะช่องสัญญาณ และค่าความแปรปรวนของสัญญาณรบกวนสำหรับสถานะต่าง ๆ ของช่องสัญญาณ

#### 6.3.1 การประมาณค่าความน่าจะเป็นของการเปลี่ยนสถานะช่องสัญญาณ

ความน่าจะเป็นของการเปลี่ยนสถานะช่องสัญญาณสามารถประมาณได้โดยใช้อัลกอริทึมแบบบอม-เวลช์ (Baum-Welch algorithm) ซึ่งใช้กันอย่างกว้างขวางในการรู้จำเสียง (speech recognition) [8] ความน่าจะเป็นของการเปลี่ยนสถานะจากสถานะ  $q'$  ไปยังสถานะ  $q$  ของช่องสัญญาณสามารถประมาณได้ดังนี้

$$\bar{P}(B_k = q | B_{k-1} = q') = \frac{E\{P(B_{k-1} = q', B_k = q | SP(Z), R)\}}{E\{P(B_{k-1} = q' | SP(Z), R)\}} \quad (45)$$

$$= \frac{E\{P(B_{k-1} = q', B_k = q, SP(Z), R)\}}{E\{P(B_{k-1} = q', SP(Z), R)\}} \quad (46)$$

$$= \frac{\sum_{k=1}^K a_{k-1}(q') \cdot c_k(q', q) \cdot b_k(q)}{\sum_{k=1}^K a_{k-1}(q') \cdot b_{k-1}(q')} \quad (47)$$

เมื่อ

$$E\{P(B_{k-1} = q', B_k = q, SP(Z), R)\} = \frac{1}{K} \sum_{k=1}^K P(B_{k-1} = q', B_k = q, SP(Z), R) \quad (48)$$

$$= \frac{1}{K} \sum_{k=1}^K a_{k-1}(q') \cdot c_k(q', q) \cdot b_k(q) \quad (49)$$

$$E\{P(B_{k-1} = q', SP(Z), R)\} = \frac{1}{K} \sum_{k=1}^K P(B_{k-1} = q', SP(Z), R) \quad (50)$$

$$= \frac{1}{K} \sum_{k=1}^K a_{k-1}(q') \cdot b_{k-1}(q') \quad (51)$$

พจน์  $E\{P(B_{k-1} = q', B_k = q | SP(Z), R)\}$  ในสมการที่ (45) เป็นค่าคาดหวัง (expectation) ของความน่าจะเป็นที่ช่องสัญญาณจะอยู่ในสถานะ  $q'$  แล้วเปลี่ยนไปอยู่ในสถานะ  $q$  ดังนั้น  $K \cdot E\{P(B_{k-1} = q', B_k = q | SP(Z), R)\}$  คือค่าเฉลี่ยของจำนวนครั้งที่ช่องสัญญาณจะอยู่ในสถานะ  $q'$  แล้วเปลี่ยนไปอยู่ในสถานะ  $q$

พจน์  $E\{P(B_{k-1} = q' | SP(Z), R)\}$  ในสมการที่ (45) เป็นค่าคาดหวังของความน่าจะเป็นที่ช่องสัญญาณจะอยู่ในสถานะ  $q'$  เมื่อกำหนดเงื่อนไขของฟังก์ชันความน่าจะเป็นของสัญลักษณ์ที่ส่ง  $SP(Z)$  และสัญญาณที่ได้รับจากช่องสัญญาณ  $R$  ดังนั้น  $K \cdot E\{P(B_{k-1} = q' | SP(Z), R)\}$  คือค่าเฉลี่ยของ

จำนวนครั้งที่ช่องสัญญาณจะอยู่ในสถานะ  $q'$  และเมื่อใช้นิยามของความน่าจะเป็นแบบมีเงื่อนไข กับสมการที่ (45) ก็จะได้ผลดังสมการที่ (46)

พจน์  $E\{P(B_{k-1} = q', B_k = q, SP(Z), R)\}$  และ  $E\{P(B_{k-1} = q', SP(Z), R)\}$  สามารถคำนวณได้จากการเฉลี่ยตามเวลา (time average) ในช่วงเวลา  $K$  ดังแสดงในสมการที่ (48) และ (50) ตามลำดับ เนื่องจากช่องสัญญาณถูกกำหนดให้มีความน่าจะเป็นของการเปลี่ยนสถานะไม่เปลี่ยนแปลงตามเวลา และกำหนดให้มีคุณสมบัติเออร์โกดิก (ergodicity) ซึ่งเป็นคุณสมบัติที่ทำให้การเฉลี่ยตามตัวอย่าง (ensemble average) (ซึ่งเป็นการหาค่าคาดหวัง) สามารถถูกแทนด้วยการเฉลี่ยตามเวลา

ในการวิจัยนี้ เราจะนิยามข่าวสารของการประมาณค่าความน่าจะเป็นของการเปลี่ยนจากสถานะ  $q'$  ดังสมการที่ (52)

$$L(B_k | B_{k-1} = q') = \log \frac{\bar{P}(B_k = 1 | B_{k-1} = q')}{\bar{P}(B_k = 0 | B_{k-1} = q')} \quad (52)$$

ข่าวสารในสมการที่ (52) เป็นการเปรียบเทียบอัตราส่วนของความน่าจะเป็นที่ช่องสัญญาณจะเปลี่ยนจากสถานะ  $q'$  ไปยังสถานะเลขต่อสถานะดี โดยค่าที่ได้นี้ไม่ขึ้นกับเวลา และเมื่อแทนพจน์  $\bar{P}(B_k = q | B_{k-1} = q')$  จากสมการที่ (47) ลงในสมการที่ (52) และใช้ความสัมพันธ์จากสมการที่ (8) ได้ผลดังนี้

$$L(B_k | B_{k-1} = q') = L_{\text{prior}}(B_k | B_{k-1} = q') + L_{\text{ext}}(B_k | B_{k-1} = q') \quad (53)$$

เมื่อ

$$L_{\text{prior}}(B_k | B_{k-1} = q') = \log \frac{P(B_k = 1 | B_{k-1} = q')}{P(B_k = 0 | B_{k-1} = q')} \quad (54)$$

$$L_{\text{ext}}(B_k | B_{k-1} = q') = \log \frac{\sum_{k=1}^K a_{k-1}(q') \cdot P(R_k | B_k = 1, P(Z_k)) \cdot b_k(1)}{\sum_{k=1}^K a_{k-1}(q') \cdot P(R_k | B_k = 0, P(Z_k)) \cdot b_k(0)} \quad (55)$$

จากสมการที่ (53) จะเห็นว่าข่าวสารของการประมาณค่าความน่าจะเป็นของการเปลี่ยนสถานะช่องสัญญาณประกอบด้วยข่าวสารพรีอริและข่าวสารเอกซ์ทรินซิก

ข่าวสารพรีอริ  $L_{\text{prior}}(B_k | B_{k-1} = q')$  คำนวณได้จากข่าวสารรวมของการประมาณค่าความน่าจะเป็นของการเปลี่ยนสถานะจากรอบที่แล้ว ดังนั้นเมื่อการประมาณค่านี้เข้าสู่คำตอบที่ถูกต้องแล้วข่าวสารพรีอริและข่าวสารรวมจะมีค่าเท่ากัน ซึ่งหมายความว่าข่าวสารเอกซ์ทรินซิก

$L_{\text{ext}}(B_k | B_{k-1} = q')$  จะลู่เข้าสู่ค่าศูนย์นั่นเอง



เนื่องจาก  $a_k(q)$  และ  $b_k(q)$  ได้ถูกคำนวณแล้วในการตรวจวัดสถานะช่องสัญญาณของ เบิร์ตดีเทกเตอร์ ดังนั้น  $a_k(q)$  และ  $b_k(q)$  เป็นผลพลอยได้จากเบิร์ตดีเทกเตอร์

### 6.3.2 การประมาณค่าความแปรปรวนของสัญญาณรบกวน

ค่าความแปรปรวนของสัญญาณรบกวนเมื่อช่องสัญญาณอยู่ในสถานะ  $q$  และอินพุตของ ช่องสัญญาณเป็น  $d$  สามารถประมาณได้จากสมการที่ (58)

$$\bar{\sigma}_{q,d}^2 = E\{(R_k - \tilde{Z}_k)^2 | B_k = q, Z_k = d\} \quad (56)$$

$$= \frac{\sum_{k=1}^K P(B_k = q, Z_k = d) \cdot (R_k - \tilde{Z}_k)^2 |_{Z_k=d}}{\sum_{k=1}^K P(B_k = q, Z_k = d)} \quad (57)$$

$$= \frac{\sum_{k=1}^K P(B_k = q) \cdot P(Z_k = d) \cdot (R_k - \tilde{Z}_k)^2 |_{Z_k=d}}{\sum_{k=1}^K P(B_k = q) \cdot P(Z_k = d)} \quad (58)$$

พจน์  $P(B_k = q, Z_k = d)$  ในสมการที่ (57) คือความน่าจะเป็นร่วม (joint probability mass function) ของสถานะช่องสัญญาณและอินพุต และเนื่องจากเหตุการณ์ทั้งสองนี้เป็นอิสระกัน จึงทำให้พจน์  $P(B_k = q, Z_k = d)$  ถูกแทนด้วย  $P(B_k = q) \cdot P(Z_k = d)$  ในสมการที่ (58)

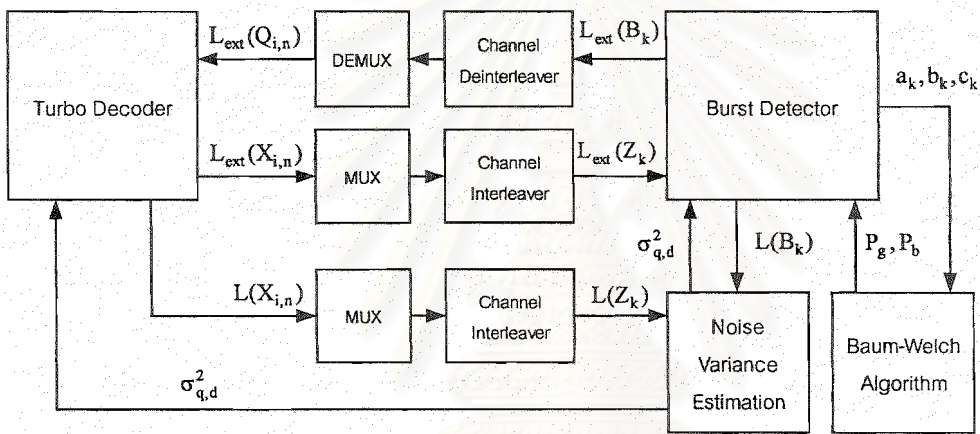
เมื่อค่าความแปรปรวนของสัญญาณรบกวนไม่ขึ้นกับอินพุตของช่องสัญญาณ ค่าความแปรปรวนนี้สามารถประมาณได้จากสมการที่ (59)

$$\bar{\sigma}_q^2 = E\{(R_k - \tilde{Z}_k)^2 | B_k = q\} \\ = \frac{\sum_{k=1}^K P(B_k = q) \sum_{d \in \Delta} P(Z_k = d) \cdot (R_k - \tilde{Z}_k)^2 |_{Z_k=d}}{\sum_{k=1}^K P(B_k = q)} \quad (59)$$

จากการทดสอบพบว่า พจน์  $P(Z_k)$  และ  $P(B_k)$  ในสมการที่ (58) และ (59) ต้องคำนวณจาก อัตราส่วนโลกัลลิคูดเท่านั้น ไม่สามารถคำนวณจากข่าวสารเอกซ์ทรีนซิก ในการคำนวณความแปรปรวนของสัญญาณรบกวนจำเป็นต้องรอให้ระบบถอดรหัสเสร็จเข้าก่อนจึงจะสามารถปรับปรุงการคำนวณใหม่ได้ มิเช่นนั้นอาจทำให้สมรรถนะของการถอดรหัสที่ได้ด้อยลง

### 6.4 ระบบถอดรหัสที่เสนอ

เมื่อนำองค์ประกอบต่าง ๆ ที่ได้วิเคราะห์ประกอบเข้าเป็นระบบถอดรหัสที่เสนอนี้จะได้ดังรูปที่ 11 ในรูปนี้ตัวถอดรหัสเทอร์โบทำหน้าที่ส่งข่าวสารของสัญลักษณ์ที่ป้อนเข้าอินพุตของช่องสัญญาณ  $L_{ext}(Z_k)$  ให้แก่เบิสต์ดีเทกเตอร์ ในทางกลับกันเบิสต์ดีเทกเตอร์ก็ทำหน้าที่ส่งข่าวสารของสถานะช่องสัญญาณ  $L_{ext}(B_k)$  ให้แก่ตัวถอดรหัสเทอร์โบ บล็อกของอัลกอริทึมแบบบอม-เวลช์ [8] จะรับความน่าจะเป็นของสถานะช่องสัญญาณที่กวาดไปข้างหน้า  $a_k(s)$  และที่กวาดไปข้างหลัง  $b_k(s)$  และฟังก์ชันเมทริกสาขา  $c_k(s',s)$  จากเบิสต์ดีเทกเตอร์ เพื่อประมาณค่าความน่าจะเป็นของการเปลี่ยนสถานะช่องสัญญาณ  $P_g$  และ  $P_b$



รูปที่ 11 โครงสร้างของระบบถอดรหัสที่เสนอและการประมาณค่าพารามิเตอร์ของช่องสัญญาณ

บล็อกประมาณค่าความแปรปรวนของสัญญาณรบกวนจะรับข่าวสารรวมของสัญลักษณ์อินพุต  $L(Z_k)$  และสถานะช่องสัญญาณ  $L(B_k)$  เพื่อประมาณค่าความแปรปรวนของสัญญาณรบกวนแล้วส่งค่าประมาณนี้ให้แก่ตัวถอดรหัสเทอร์โบและเบิสต์ดีเทกเตอร์

#### 6.4.1 รายละเอียดของการวนซ้ำในระบบถอดรหัสที่เสนอ

การถอดรหัสของระบบถอดรหัสที่เสนอนี้จะกระทำด้วยวิธีการวนซ้ำ โดยรอบแรกของการวนซ้ำค่าข่าวสารพรีอริ  $L_{prior}(u_n)$  จะถูกกำหนดให้มีค่าเป็นศูนย์ ซึ่งเป็นกรณีที่บิตหนึ่งและบิตศูนย์มีโอกาสเกิดเท่า ๆ กัน และในกรณีที่ไม่มีทราบพารามิเตอร์ของช่องสัญญาณ ค่าความน่าจะเป็นของการเปลี่ยนสถานะช่องสัญญาณ  $P_g$  และ  $P_b$  จะถูกกำหนดให้มีค่าเริ่มต้นเป็น 0.5 และค่าเริ่มต้นของความแปรปรวน

ของสัญญาณรบกวนเมื่อช่องสัญญาณอยู่ในสถานะที่ถูกกำหนดให้มีค่าต่าง ๆ เช่น 0.2, 0.5, 1.0, และ 2.0 ในขณะที่ค่าเริ่มต้นของความแปรปรวนของสัญญาณรบกวนเมื่อช่องสัญญาณอยู่ในสถานะเลวถูกกำหนดให้มีค่าต่าง ๆ เช่น 5, 10, 15, และ 20 สำหรับรอบแรกของการวนซ้ำ จากการทดสอบพบว่าค่าเริ่มต้นนี้ไม่มีผลต่อค่าประมาณที่ได้เมื่อระบบถอดรหัสลู่อื่น

ในการวนซ้ำแต่ละรอบ ตัวถอดรหัสย่อยแต่ละตัวจะทำงานตามลำดับแล้วตามด้วยการทำงานของเบรสต์ดีเทกเตอร์ จากนั้นก็จะเป็นบล็อกของอัลกอริทึมแบบบอม-เวลช์ และเมื่อวงจรระหว่างตัวถอดรหัสเทอร์โบและเบรสต์ดีเทกเตอร์ลู่อื่น ก็จะปรับปรุงค่าความแปรปรวนของสัญญาณรบกวน การวนซ้ำจะดำเนิน ไปจนกว่าระบบทั้งหมดลู่อื่น จากนั้นจะตัดสินใจข้อมูลจากข่าวสารรวมของบิตข้อมูลที่ได้จากตัวถอดรหัสย่อยตัวใดตัวหนึ่ง และตัดสินใจสถานะช่องสัญญาณจากข่าวสารรวมของสถานะช่องสัญญาณที่ได้จากเบรสต์ดีเทกเตอร์ ถึงแม้ว่าผลที่ได้จากการตัดสินใจข้อมูลจากตัวถอดรหัสย่อยแต่ละตัวอาจจะให้ผลไม่เหมือนกัน แต่สมรรถนะของระบบที่ได้แทบจะไม่แตกต่างกัน [1]

#### 6.4.2 การเปรียบเทียบกับถอดรหัสแบบต่าง ๆ

การวิจัยนี้ทำการเปรียบเทียบสมรรถนะของการถอดรหัสแบบต่าง ๆ ดังตารางที่ 1 มีรายละเอียดดังนี้

- 1) ขีดจำกัดของสมรรถนะการถอดรหัส (Maximum Achievable Performance Limit) เป็นกรณีในอุดมคติที่ระบบถอดรหัสทราบสถานะช่องสัญญาณและค่าความแปรปรวนที่ถูกต้อง
- 2) ระบบถอดรหัสที่เสนอเมื่อทราบพารามิเตอร์ของช่องสัญญาณ (Proposed Decoding System with Known Channel Parameters) เป็นกรณีที่ระบบถอดรหัสที่เสนอทราบความน่าจะเป็นของการเปลี่ยนสถานะช่องสัญญาณและความแปรปรวนของสัญญาณรบกวน แต่ระบบถอดรหัสต้องประมาณสถานะช่องสัญญาณ
- 3) ระบบถอดรหัสที่เสนอเมื่อไม่ทราบพารามิเตอร์ของช่องสัญญาณ (Proposed Decoding System with Unknown Channel Parameters) เป็นกรณีที่ระบบถอดรหัสที่เสนอต้องประมาณสถานะช่องสัญญาณ ความน่าจะเป็นของการเปลี่ยนสถานะช่องสัญญาณ และค่าความแปรปรวนของสัญญาณรบกวนเอง
- 4) ระบบถอดรหัสเทอร์โบแบบดั้งเดิม (Conventional Turbo Decoding System) เป็นระบบถอดรหัสเทอร์โบที่ไม่มีการตรวจวัดสถานะช่องสัญญาณแต่กำหนดให้ทราบและใช้ค่าเฉลี่ยของความแปรปรวนของสัญญาณรบกวน ซึ่งคำนวณได้จากการเฉลี่ยค่าความแปรปรวนของ



สัญญาณรบกวนที่ถ่วงน้ำหนักด้วยความน่าจะเป็นของสถานะช่องสัญญาณ เมื่อช่องสัญญาณอยู่ในสถานะคงตัว ดังสมการที่ (60)

$$\sigma_{\text{average}}^2 = P(\text{good\_state}) \sigma_{\text{good}}^2 + P(\text{bad\_state}) \sigma_{\text{bad}}^2 \quad (60)$$

ตารางที่ 1 การถอดรหัสแบบต่าง ๆ ที่ใช้เปรียบเทียบกันในการวิจัย

Decoding Scheme No.	Decoding Schemes	channel state	transition probabilities	noise variances
1	Maximum Achievable Performance Limit	known	not used	known
2	Proposed Decoding with Known Channel Parameters	estimated	known	known
3	Proposed Decoding with Unknown Channel Parameters	estimated	estimated	estimated
4	Conventional Turbo Decoding with Average Noise Variance	not used	not used	known

ในงานวิจัยนี้ได้เปรียบเทียบความซับซ้อนของระบบถอดรหัสแบบต่าง ๆ ที่มีในตารางที่ 1 โดยเปรียบเทียบจำนวนของการคูณและการบวกที่ต้องใช้สำหรับการประมวลผลแต่ละรอบของการวนซ้ำ โดยจะเริ่มพิจารณาระบบถอดรหัสที่เสนอเมื่อทราบพารามิเตอร์ของช่องสัญญาณก่อน จากนั้นจะพิจารณาความซับซ้อนของระบบถอดรหัสอื่น ๆ ที่เหลือ นอกจากนี้เพื่อให้ง่ายต่อการอธิบายจะพิจารณาจำนวนของการคูณและการบวกแต่ละสมการ โดยยังไม่พิจารณารายละเอียดของแต่ละพจน์ในที่เดียวเลยแต่จะค่อย ๆ พิจารณาในขั้นตอนถัด ๆ ไป

จำนวนของการคูณในการคำนวณค่า  $\alpha_{i,n}(s)$  แต่ละตัวในสมการที่ (31) จะเท่ากับจำนวนพจน์ที่ต้องทำการบวกกัน ซึ่งน่าจะเท่ากับ จำนวนสถานะของตัวเข้ารหัสย่อย ( $M$ ) หรือขนาดของเซต  $\mathcal{C}$ , แต่เนื่องจาก  $\gamma_{i,n}(s',s)$  มีค่าเป็นศูนย์สำหรับการเปลี่ยนสถานะที่เป็นไปไม่ได้ จึงทำให้จำนวนของการคูณที่ต้องใช้น้อยกว่านี้ กล่าวคือต้องเท่ากับจำนวนของการเปลี่ยนสถานะที่เป็นไปได้ และเนื่องจากเราใช้ข้อมูลแบบไบนารีในการเข้ารหัส จึงทำให้จำนวนของสาขาบนแผนภาพเทอร์ลิสที่เข้ามาแต่ละสถานะมีเพียงแค่สอง และทำให้จำนวนพจน์ที่บวกกันในสมการที่ (31) ต้องเท่ากับสองด้วย ดังนั้นจำนวนของการคูณที่ต้องใช้สำหรับการคำนวณค่า  $\alpha_{i,n}(s)$  แต่ละตัวจึงเท่ากับสอง ในขณะที่จำนวนของการบวกจะเท่ากับหนึ่ง

เนื่องจากต้องคำนวณค่า  $\alpha_{i,n}(s)$  สำหรับทุก ๆ เวลา  $n = 1, 2, \dots, N$  ทุก ๆ สถานะของตัวเข้ารหัสย่อย  $s = 0, 1, 2, \dots, M-1$  และทุก ๆ ตัวเข้ารหัสย่อยซึ่งกำหนดให้มีจำนวนเท่ากับ  $C$  (ในที่นี้  $C=2$ ) ดังนั้นจำนวนของการคูณและการบวกเพื่อหาค่า  $\alpha_{i,n}(s)$  ทุกตัวเท่ากับ  $2MCN$  และ  $M CN$  ตามลำดับ เมื่อเปรียบ

เทียบการคำนวณหาค่า  $\beta_{i,n}(s)$  ในสมการที่ (32) กับการคำนวณหาค่า  $\alpha_{i,n}(s)$  ในสมการที่ (31) ประกอบกับจำนวนของสาขาที่ออกจากแต่ละสถานะของตัวเข้ารหัสบนแผนภาพทรลิตสมิค่าเท่ากับสอง จึงสรุปได้ว่าจำนวนของการคูณและการบวกที่ต้องใช้สำหรับการคำนวณค่า  $\alpha_{i,n}(s)$  และ  $\beta_{i,n}(s)$  มีค่าเท่ากัน ดังนั้นจำนวนของการคูณและการบวกที่ใช้ในการกวาดไปข้างหน้าและกวาดจากข้างหลังของตัวถอดรหัสเทอร์โบรวมกันเท่ากับ  $4MCN$  และ  $2MCN$  ตามลำดับ

เนื่องจากการหาค่า  $\alpha_{i,n}(s)$  และ  $\beta_{i,n}(s)$  นั้นเราจำเป็นต้องเตรียมค่า  $\gamma_{i,n}(s',s)$  จากสมการที่ (37) จะเห็นว่ามีพจน์ทางขวายู่สามพจน์ดังนั้นจึงใช้จำนวนของการคูณเท่ากับสอง เนื่องจากที่แต่ละสถานะ  $s$  จะมีสถานะ  $s'$  ที่เป็นไปได้เพียงสองสถานะ ดังนั้นในการคำนวณค่า  $\gamma_{i,n}(s',s)$  ทั้งหมดต้องใช้จำนวนการคูณและการบวกเท่ากับ  $4MCN$  และศูนย์ตามลำดับ

ในการคำนวณ  $\gamma_{i,n}(s',s)$  จะต้องเตรียมค่าแต่ละพจน์ทางขวามือของสมการที่ (37) ก่อน โดยพจน์แรกทางขวามือของสมการได้มาจากตัวถอดรหัสย่อยตัวอื่น ๆ ส่วนพจน์สองพจน์ทางขวามือสามารถคำนวณได้จากสมการที่ (29) (โดยจะต้องเตรียมทั้งกรณีสัญลักษณ์อินพุตของช่องสัญญาณเป็นศูนย์และหนึ่ง) เมื่อพิจารณาการคำนวณในสมการที่ (29) จะต้องใช้จำนวนการคูณเท่ากับจำนวนของสถานะช่องสัญญาณซึ่งจะให้เท่ากับ  $D$  (ซึ่งในที่นี้  $D=2$ ) และใช้จำนวนการบวกเท่ากับ  $D-1$  ดังนั้นในการคำนวณพจน์ทางขวามือทั้งหมดสำหรับสำหรับตัวถอดรหัสย่อยทุกตัวดังสมการที่ (37) จะต้องใช้จำนวนการคูณและการบวกเท่ากับ  $4DCN$  และ  $4(D-1)CN$  ตามลำดับ

เพื่อความง่ายในการคำนวณจำนวนของการคูณและการบวก จะละการคำนวณฟังก์ชันพื้นฐานในสมการที่ (27) (28) และ (30) ออกไป ดังนั้นในการคำนวณค่าฟังก์ชันเมทริกสาขา  $\gamma_{i,n}(s',s)$  และเตรียมพจน์ทางขวามือของสมการที่ (37) ทั้งหมด ต้องใช้จำนวนการคูณและการบวกเท่ากับ  $4(M+D)CN$  และ  $4(D-1)CN$  ตามลำดับ

สำหรับกรณีขีดจำกัดของสมรรถนะการถอดรหัส และระบบถอดรหัสเทอร์โบแบบดั้งเดิม การคำนวณค่า  $\alpha_{i,n}(s)$  และ  $\beta_{i,n}(s)$  จะใช้จำนวนการคูณและการบวกเท่ากับกรณีระบบถอดรหัสที่เสนอเมื่อทราบและไม่ทราบพารามิเตอร์ของช่องสัญญาณ แต่ในการคำนวณค่า  $\gamma_{i,n}(s',s)$  จะใช้จำนวนการคูณและการบวกเท่ากับ  $4MCN$  และศูนย์ตามลำดับเท่านั้น เนื่องจากไม่ต้องการถ่วงน้ำหนักดังในสมการที่ (29)

หลังจากที่เตรียมค่าเมทริกฟังก์ชัน  $\gamma_{i,n}(s',s)$ ,  $\alpha_{i,n}(s)$  และ  $\beta_{i,n}(s)$  แล้ว จะต้องคำนวณข่าวสารเอกซ์ทรีนซิกในสมการที่ (25) และ (40) เมื่อพิจารณาจำนวนของพจน์  $(\alpha_{i,n-1}(s') \cdot P(Y_{i,n} | X_{i,n}, P(Q_{i,n})) \cdot \beta_{i,n}(s))$  และพจน์  $(\alpha_{i,n-1}(s') \cdot P^i(u_{\pi_i^{-1}(n)}) \cdot P(Y_{0,\pi_i^{-1}(n)} | u_{\pi_i^{-1}(n)}, P(Q_{0,\pi_i^{-1}(n)}))) \cdot \beta_{i,n}(s))$  ที่ต้องบวกกันเนื่องจากเครื่องหมาย  $\Sigma$  ในพจน์เศษหรือพจน์ส่วนอย่างใดอย่างหนึ่ง มีค่าเท่ากับ  $M$  (ค่านี้ได้มาจากผลคูณระหว่างจำนวนสถานะของตัวเข้ารหัสย่อย กับจำนวนสาขาสำหรับแต่ละสถานะที่ให้ข้อมูล



(หรือพาริตีบิต) เป็นศูนย์หรือหนึ่งตามเงื่อนไขของการบวก ซึ่งมีเพียงหนึ่งสาขาต่อสถานะเท่านั้น ดังนั้นจำนวนการบวกที่ต้องใช้ในแต่ละพจน์เศษหรือส่วนจะเท่ากับ  $M-1$  และเนื่องจากแต่ละพจน์ภายใต้เครื่องหมาย  $\Sigma$  ของพจน์เศษหรือพจน์ส่วนมีจำนวนของการคูณที่ต้องใช้เท่ากับสอง (ถึงแม้ว่าในสมการที่ (40) จะปรากฏว่าพจน์  $\alpha_{i,n-1}(s) \cdot P^i(u_{\pi_i^{-1}(n)}) \cdot P(Y_{0,\pi_i^{-1}(n)} | u_{\pi_i^{-1}(n)}, P(Q_{0,\pi_i^{-1}(n)})) \cdot \beta_{i,n}(s)$  ควรจะใช้จำนวนของการคูณเท่ากับสาม แต่เนื่องจากผลคูณระหว่างพจน์  $P^i(u_{\pi_i^{-1}(n)})$  และ  $P(Y_{0,\pi_i^{-1}(n)} | u_{\pi_i^{-1}(n)}, P(Q_{0,\pi_i^{-1}(n)}))$  ได้ถูกกระทำไปแล้ว ตอนที่คำนวณค่า  $y_{i,n}(s',s)$  จึงไม่ต้องกระทำการคูณซ้ำนี้อีก ถ้าได้เตรียมหน่วยความจำสำหรับเก็บค่านี้ไว้) ดังนั้นจำนวนการคูณที่ต้องใช้สำหรับแต่ละพจน์เศษหรือพจน์ส่วนจะเท่ากับ  $2M$  การหารในสมการที่ (25) และ (40) จะนับว่าเป็นการคูณด้วย ทำให้การคำนวณตามสมการที่ (25) และ (40) สำหรับทุกตัวเข้ารหัสย่อย (มีจำนวน  $c$  ตัว) และทุกบิตข้อมูลและพาริตีบิต (มีจำนวน  $2N$  บิตต่อตัวถอดรหัส) ต้องใช้จำนวนของการคูณและบวกเท่ากับ  $2(4M+1)CN$  และ  $4(M-1)CN$  ตามลำดับ

สำหรับกรณีซิคจำกัดของสมรรถนะการถอดรหัส และระบบถอดรหัสเทอร์โบแบบดั้งเดิม จะไม่ต้องคำนวณข่าวสารของพาริตีบิตในสมการที่ (40) เพราะไม่ได้ใช้ จึงทำให้จำนวนของการคูณและการบวกพิจารณาเฉพาะสมการที่ (25) ซึ่งมีค่าเท่ากับ  $(4M+1)CN$  และ  $2(M-1)CN$  ตามลำดับ

สำหรับกรณีของการหาจำนวนการคูณและการบวกที่ต้องใช้ในการคำนวณ  $a_k(q)$  ในสมการที่ (6) และ  $b_k(q)$  ในสมการที่ (7) ก็สามารถใช้วิธีการเดียวกัน จะได้ว่าในคำนวณ  $a_k(q)$  และ  $b_k(q)$  ทั้งหมดจะต้องใช้จำนวนการคูณและการบวกเท่ากับ  $2D^2K$  และ  $2D(D-1)K$  ตามลำดับ (เนื่องจากแต่ละพจน์เศษและพจน์ส่วนทางขวามือของสมการที่ (6) และ (7) ต้องใช้จำนวนของการคูณและการบวกเท่ากับ  $D$  และ  $(D-1)$  ตามลำดับ และต้องคำนวณ  $a_k(q)$  และ  $b_k(q)$  สำหรับทุกค่า  $k=1,2,\dots,K$  และทุกค่า  $q=0,1,\dots,D-1$ ) สำหรับการคำนวณค่า  $c_k(q',q)$  ในสมการที่ (8) จะต้องใช้จำนวนการคูณและการบวกเท่ากับ  $D^2K$  และศูนย์ตามลำดับ เมื่อ  $K$  คือจำนวนของสัญลักษณ์ทั้งหมดที่ส่งผ่านช่องสัญญาณ ซึ่งมีค่าเท่ากับ  $(C+1)N$

การคำนวณจำนวนของการคูณและการบวกที่ต้องใช้ในการเตรียมพจน์ต่าง ๆ ทางขวามือของสมการที่ (8) จะพิจารณาเฉพาะพจน์ขวาสุดเท่านั้น (คำนวณได้จากสมการที่ (9)) ส่วนพจน์แรกทางขวามือของสมการที่ (8) ไม่จำเป็นต้องทำ เนื่องจากทราบค่าอยู่แล้ว หรือมีเช่นนั้นก็จะได้ค่ามาจากบล็อกรหัสของอัลกอริทึมแบบบอม-เวลช์ (สำหรับกรณีที่ไมทราบพารามิเตอร์ของช่องสัญญาณ) ซึ่งจะคำนวณความซับซ้อนแยกออกไปต่างหาก การคำนวณเพื่อเตรียมพจน์ทางขวามือของสมการที่ (8) ทั้งหมดจะใช้จำนวนการคูณและการบวกเท่ากับ  $2K$  และ  $K$  ตามลำดับและเพื่อความง่ายในการคำนวณจำนวนการคูณและการบวกจะไม่พิจารณาการคำนวณฟังก์ชันพื้นฐานในสมการที่ (10) (15) และ (16) ดังนั้นการ



คำนวณ  $c_k(q',q)$  รวมทั้งการเตรียมพจน์ต่าง ๆ ในสมการที่ (8) ต้องใช้จำนวนการคูณและการบวกเท่ากับ  $(D^2+2)K$  และ  $K$  ตามลำดับ

หลังจากที่เตรียมค่า  $c_k(q',q)$ ,  $a_k(q)$  และ  $b_k(q)$  แล้ว จะต้องคำนวณข่าวสารของสถานะช่องสัญญาณในสมการที่ (5) จำนวนของพจน์  $(a_{k-1}(q') \cdot P(B_k=1|B_{k-1}=q') \cdot b_k(1))$  ที่ต้องบวกกันในเครื่องหมาย  $\Sigma$  ของแต่ละพจน์เศษหรือส่วน มีจำนวนเท่ากับจำนวนสถานะของช่องสัญญาณคือ  $D$  ดังนั้นจำนวนของการคูณและการบวกสำหรับแต่ละพจน์เศษหรือส่วนที่แต่ละเวลา  $k$  จึงเท่ากับ  $2D$  และ  $D-1$  ตามลำดับ ในกรณีที่  $D$  มีค่าเท่ากับสอง จะต้องคำนวณพจน์  $\sum_{q' \in \Theta} a_{k-1}(q') \cdot P(B_k=1|B_{k-1}=q') \cdot b_k(q)$  สำหรับทุกค่า  $q \in \Theta$  ซึ่งก็คือพจน์เศษและส่วนทางขวาของสมการที่ (5) ซึ่งมีจำนวนเท่ากับสอง แต่ถ้า  $D$  เป็นค่าใด ๆ ที่มากกว่าสองจะทำให้ต้องเตรียม พจน์  $\sum_{q' \in \Theta} a_{k-1}(q') \cdot P(B_k=1|B_{k-1}=q') \cdot b_k(q)$  สำหรับทุก  $q \in \Theta$  เป็นจำนวนเท่ากับ  $D$  การหารในสมการที่ (5) จะนับว่าเป็นการคูณด้วย โดยจำนวนของการหารที่ต้องใช้ในแต่ละเวลา  $k$  จะเท่ากับหนึ่งสำหรับกรณีที่  $D=2$  แต่สำหรับกรณีที่  $D$  มีค่ามากกว่าหรือเท่ากับสอง จำนวนการหารที่ต้องใช้จะเท่ากับ  $D-1$  (เนื่องจากต้องเลือกสถานะช่องสัญญาณใดมาสถานะหนึ่ง แล้วทำการเปรียบเทียบความน่าจะเป็นของสถานะช่องสัญญาณอื่น ๆ กับความน่าจะเป็นของสถานะช่องสัญญาณที่เลือกไว้ได้เป็นจำนวนของการเปรียบเทียบเท่ากับ  $D-1$ ) ดังนั้นการคำนวณตามสมการที่ (5) สำหรับทุก ๆ เวลา  $k=1,2,\dots,K$  และ ทุก ๆ การเปรียบเทียบความน่าจะเป็นของสถานะช่องสัญญาณอื่น ๆ กับของสถานะช่องสัญญาณที่เลือกไว้ จะต้องใช้จำนวนของการคูณ และการบวกเท่ากับ  $(2D^2+D-1)K$  และ  $D(D-1)K$  ตามลำดับ

จำนวนของการคูณและการบวกที่ใช้ในแต่ละกระบวนการของการถอดรหัสแบบต่าง ๆ แสดงไว้ในตารางที่ 2 และ 3 และเมื่อแทนค่า  $D=2$ ,  $C=2$ , และ  $M=2^3=8$  สำหรับค่า  $N$  ใด ๆ จะได้จำนวนการคูณและการบวกทั้งหมดสำหรับการถอดรหัสแบบต่าง ๆ ดังตารางที่ 4

สถาบันวิทยบริการ  
จุฬาลงกรณ์มหาวิทยาลัย

ตารางที่ 2 จำนวนของการคูณที่ใช้ในแต่ละกระบวนการของการถอดรหัสแบบต่าง ๆ

Decoding Scheme No.	Number of Multiplications Per Iteration Step							
	Turbo Decoder			Burst Detector			Baum-Welch Algorithm	Noise Variance Estimation
	Forward and Backward Recursions (31,32)	Branch Metric Function (29,33)	Extrinsic Information (25)	Forward and Backward Recursions (6,7)	Branch Metric Function (8,9)	Extrinsic Information (5)		
1	4MCN	4MCN	(4M+1)CN	not used	not used	not used	not used	not used
2	4MCN	4(M+D)CN	2(4M+1)CN	$2D^2(C+1)N$	$(D^2+2D)(C+1)N$	$(2D^2+D-1)(C+1)N$	not used	not used
3	4MCN	4(M+D)CN	2(4M+1)CN	$2D^2(C+1)N$	$(D^2+2D)(C+1)N$	$(2D^2+D-1)(C+1)N$	$2D^2(C+1)N + D(D-1)$	$5D(C+1)N + D$
4	4MCN	4MCN	(4M+1)CN	not used	not used	not used	not used	not used

ตารางที่ 3 จำนวนของการบวกที่ใช้ในแต่ละกระบวนการของการถอดรหัสแบบต่าง ๆ

Decoding Scheme No.	Number of Additions Per Iteration Step							
	Turbo Decoder			Burst Detector			Baum-Welch Algorithm	Noise Variance Estimation
	Forward and Backward Recursions (31,32)	Branch Metric Function (29,33)	Extrinsic Information (25)	Forward and Backward Recursions (6,7)	Branch Metric Function (8,9)	Extrinsic Information (5)		
1	2MCN	-	2(M-1)CN	not used	not used	not used	not used	not used
2	2MCN	4(D-1)CN	4(M-1)CN	$2D(D-1)(C+1)N$	$D(C+1)N$	$D(D-1)(C+1)N$	not used	not used
3	2MCN	4(D-1)CN	4(M-1)CN	$2D(D-1)(C+1)N$	$D(C+1)N$	$D(D-1)(C+1)N$	$D^2((C+1)N-1)$	$5D(C+1)N - 2D$
4	2MCN	-	2(M-1)CN	not used	not used	not used	not used	not used

ตารางที่ 4 จำนวนของการคูณและการบวกที่ใช้ในการถอดรหัสแบบต่าง ๆ เมื่อ  $D=2$ ,  $C=2$ , และ  $M=8$

Decoding Scheme No.	Number of Multiplitions Per Iteration Step	Number of Additions Per Iteration Step
1	194N	60N
2	351N	120N
3	405N+4	162N-8
4	194N	60N

จากตารางที่ 2 และ 3 จะเห็นว่า การนำเบิร์ตดีเทกเตอร์มาใช้งาน (ระบบถอดรหัสแบบที่ 2 และ 3) ทำให้ความซับซ้อนของตัวถอดรหัสเทอร์โบเพิ่มขึ้น แต่จำนวนของการคูณและบวกที่ต้องใช้ก็ยังคงแปรผันตรงกับขนาดบล็อกข้อมูล (N) (ตัวแปรอื่น ๆ กำหนดให้คงที่) มิได้เพิ่มขึ้นในลักษณะเป็นเลขยกกำลังของขนาดบล็อกข้อมูล

สำหรับจำนวนของการคูณและบวกทั้งหมดที่ใช้สำหรับการถอดรหัสแบบต่าง ๆ ก็หาได้โดยการบวกพจน์ต่าง ๆ ในแถวเดียวกัน จะเห็นว่าจำนวนของการคูณและการบวกที่ใช้สำหรับการถอดรหัสแบบต่าง ๆ ก็ยังคงแปรผันตรงกับขนาดบล็อกข้อมูล แม้ว่าจะมีค่าคงที่บวก (หรือลบ) เข้ามาในกรณีของระบบถอดรหัสแบบที่ 3 และเมื่อแทนค่า  $D=2$ ,  $C=2$ , และ  $M=8$  ได้ผลดังตารางที่ 4 จะเห็นว่าค่าคงที่ที่บวกเข้ามามีค่าน้อยมากจนแทบจะไม่ต้องพิจารณาเมื่อเทียบกับขนาดของบล็อกข้อมูล N ที่ใช้

จากที่กล่าวมาในการเปรียบเทียบความซับซ้อน เราสามารถเปรียบเทียบจำนวนของการคูณและการบวกจากสัมประสิทธิ์ของ N ในตารางที่ 4 จะพบว่าระบบถอดรหัสที่เสนอเมื่อทราบพารามิเตอร์ของช่องสัญญาณ (ระบบถอดรหัสแบบที่ 2) ต้องใช้จำนวนการคูณและการบวกเพิ่มขึ้นเป็น  $351/194 = 1.81$  เท่า และ  $120/60 = 2$  เท่า ตามลำดับ เมื่อเทียบกับการถอดรหัสแบบดั้งเดิม และสำหรับระบบถอดรหัสที่เสนอเมื่อไม่ทราบพารามิเตอร์ของช่องสัญญาณ (ระบบถอดรหัสแบบที่ 3) จะต้องใช้จำนวนการคูณและการบวกเพิ่มขึ้นเป็นประมาณ  $405/194 = 2.09$  เท่า และ  $162/60 = 2.7$  เท่า ตามลำดับ ซึ่งอาจกล่าวได้ว่าความซับซ้อนของระบบที่เสนอนี้เพิ่มขึ้นเป็นไม่เกินสามเท่า สำหรับงานวิจัยนี้

จุฬาลงกรณ์มหาวิทยาลัย



## 6.5 ผลการทดสอบสมรรถนะของระบบถอดรหัสที่เสนอ

ในการทดสอบสมรรถนะของระบบถอดรหัส ตัวเข้ารหัสเทอร์โบถูกกำหนดให้มีอัตราการเข้ารหัสเป็น  $1/3$  โดยที่ตัวถอดรหัสย่อยทุกตัวที่ใช้มีพหุนามป้อนไปข้างหน้า (forward polynomial) เป็น  $1+D^3$  และพหุนามป้อนกลับ (backward polynomial) เป็น  $1+D+D^2+D^3$  ดังรูปที่ 6 ขนาดของบล็อกข้อมูลที่ใช้ในการทดสอบคือขนาด 300 และ 2400 บิต จำนวนบล็อกข้อมูลที่ใช้คือ 50000 และ 20000 ตามลำดับ วงจรอินเทอร์ลีฟทุกตัวที่ใช้เป็นแบบสุ่ม (random interleaver) ความน่าจะเป็นของการเปลี่ยนสถานะช่องสัญญาณ ( $p_b, p_c$ ) มีค่าเป็น (0.1, 0.3), (1/30, 0.1) และ (0.01, 0.03) โดยรักษาสัดส่วนของความน่าจะเป็นของการเปลี่ยนสถานะให้คงที่ที่อัตราส่วน  $p_b$  ต่อ  $p_c$  เป็นหนึ่งต่อสาม อัตราส่วนนี้ทำให้เมื่อช่องสัญญาณอยู่ในสภาวะคงตัวแล้วสัดส่วนของการที่ช่องสัญญาณจะอยู่ในสถานะดีต่อสถานะเลวเป็น 75 ต่อ 25 เปรอร์เซ็นต์ ซึ่งคำนวณได้จากสมการที่ (13) และ (14) สมรรถนะในการถอดรหัสถูกวัดด้วยอัตราความผิดพลาดของบิตข้อมูลที่ถอดรหัสได้เมื่อระบบถอดรหัสถูกรับ และกำหนดให้ค่าความแปรปรวนของสัญญาณรบกวนไม่ขึ้นกับอินพุตที่ป้อนให้แก่ช่องสัญญาณ

ในการทดสอบสมรรถนะนี้ กำหนดให้อัตราส่วนของพลังงานเฉลี่ยต่อบิตต่อความหนาแน่นสเปกตรัมกำลังของสัญญาณรบกวนเมื่อช่องสัญญาณอยู่ในสถานะดีหรือ high  $E_b/N_0$  มีค่าตั้งแต่ 2 ถึง 6 dB และกำหนดให้อัตราส่วนของพลังงานเฉลี่ยต่อบิตต่อความหนาแน่นสเปกตรัมกำลังของสัญญาณรบกวนเมื่อช่องสัญญาณอยู่ในสถานะเลวหรือ low  $E_b/N_0$  มีค่าคงที่ที่  $-10$  และ  $-4$  dB กราฟสมรรถนะของระบบถอดรหัสเมื่อขนาดของบล็อกข้อมูลเท่ากับ 300 บิตแสดงในรูปที่ 12 ถึง 14 และเมื่อขนาดของบล็อกข้อมูลเท่ากับ 2400 บิตแสดงในรูปที่ 15 ถึง 17

รูปที่ 12 และ 15 เป็นกรณีที่สถานะช่องสัญญาณมีการเปลี่ยนแปลงบ่อย กล่าวคือ  $p_b$  และ  $p_c$  มีค่าเท่ากับ 0.1 และ 0.3 ตามลำดับ จากกราฟจะเห็นว่าสมรรถนะของระบบถอดรหัสที่เสนอเมื่อไม่ทราบพารามิเตอร์ของช่องสัญญาณคือดีกว่ากรณีที่ทราบพารามิเตอร์ของช่องสัญญาณ ไม่มากนัก และสมรรถนะของระบบถอดรหัสที่เสนอนี้เมื่อทราบและไม่ทราบพารามิเตอร์ของช่องสัญญาณ ดีกว่าสมรรถนะของระบบถอดรหัสเทอร์โบแบบดั้งเดิมอย่างเห็นได้ชัด โดยเฉพาะเมื่อค่า low  $E_b/N_0$  มีค่าต่ำลงคือมีค่าเปลี่ยนจาก  $-4$  dB ในรูปที่ 12(ข) และ 15(ข) เป็น  $-10$  dB ในรูปที่ 12(ค) และ 15(ค) ซึ่งสมรรถนะของระบบถอดรหัสเทอร์โบแบบดั้งเดิมจะด้อยลงอย่างมาก แต่สมรรถนะของระบบถอดรหัสที่เสนอนี้ยังคงดีกว่าเมื่อเปรียบเทียบกับขีดจำกัดของสมรรถนะการถอดรหัสค่อนข้างมาก อย่างไรก็ตาม เมื่อช่องสัญญาณมีการเปลี่ยนแปลงสถานะน้อยลงคือ  $p_b$  และ  $p_c$  มีค่าเท่ากับ  $1/30$  และ 0.1 ตามลำดับดังในรูปที่ 13 และ 16 สมรรถนะของระบบถอดรหัสที่เสนอก็จะเข้าใกล้ขีดจำกัดของสมรรถนะการถอด

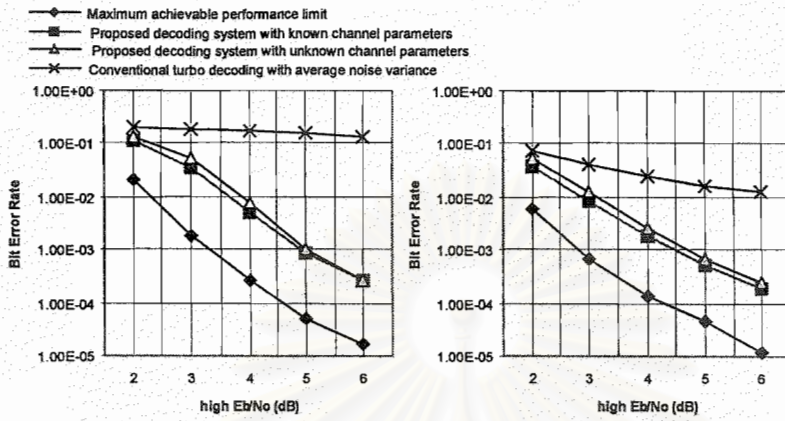
รหัสมากขึ้น และความแตกต่างของสมรรถนะของระบบถอดรหัสที่เสนอเมื่อทราบและไม่ทราบพารามิเตอร์ของช่องสัญญาณก็มีค่าน้อยลง

เมื่อช่องสัญญาณมีการเปลี่ยนแปลงสถานะน้อยลงไปอีกคือ  $p_e$  และ  $p_u$  มีค่าเท่ากับ 0.01 และ 0.03 ตามลำดับ ดังในรูปที่ 14 และ 17 สมรรถนะของระบบถอดรหัสที่เสนอก็มักจะยิ่งเข้าใกล้ขีดจำกัดของสมรรถนะการถอดรหัสมากขึ้น และในกรณีนี้พบว่ากรณีที่ทราบหรือไม่ทราบพารามิเตอร์ของช่องสัญญาณก็แทบจะไม่มีผลต่อสมรรถนะของระบบถอดรหัสที่เสนอ แต่กรณีที่ช่องสัญญาณมีการเปลี่ยนแปลงสถานะน้อยลงนั้นทำให้สมรรถนะของระบบถอดรหัสเทอร์โบแบบดั้งเดิมด้อยลงไปบ้างแต่ไม่มากนัก

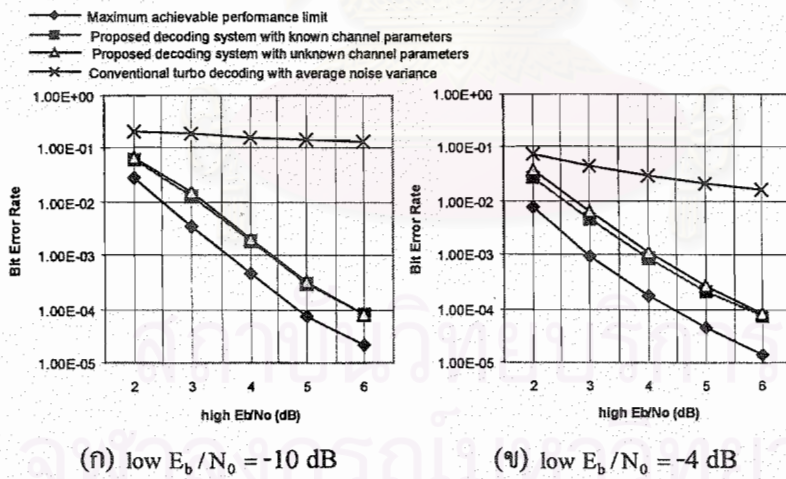
เมื่อพิจารณาขีดจำกัดของสมรรถนะการถอดรหัสสำหรับกรณีที่ขนาดของบล็อกข้อมูลเท่ากับ 300 บิต โดย  $(p_e, p_u)$  มีค่าเท่ากับ (0.1, 0.3), (1/30, 0.1) และ (0.01, 0.03) แสดงดังกราฟในรูปที่ 12, 13 และ 14 ตามลำดับ พบว่าขีดจำกัดของสมรรถนะการถอดรหัสด้อยลงเมื่อ  $p_e$  และ  $p_u$  มีค่าน้อยลง แต่เมื่อพิจารณากรณีที่ขนาดของบล็อกข้อมูลเท่ากับ 2400 บิต ซึ่งเป็นขนาดของบล็อกข้อมูลที่มากเพียงพอที่จะทำให้วงจรอินเทอร์ลีฟเวอร์สามารถกระจายเบิสต์ได้อย่างเต็มที่ โดยที่  $(p_e, p_u)$  มีค่าเท่ากับ (0.1, 0.3), (1/30, 0.1) และ (0.01, 0.03) ดังกราฟในรูปที่ 15, 16 และ 17 ตามลำดับ พบว่าขีดจำกัดของสมรรถนะการถอดรหัสแทบไม่มีความแตกต่างกันสำหรับกรณีที่บล็อกข้อมูลมีขนาดมากเช่นนี้

จากผลของการทดสอบสรุปได้ว่า สมรรถนะของระบบถอดรหัสที่เสนอเมื่อทราบและไม่ทราบพารามิเตอร์ของช่องสัญญาณดีกว่าสมรรถนะของระบบถอดรหัสเทอร์โบแบบดั้งเดิมในทุกกรณี โดยที่สมรรถนะของระบบถอดรหัสที่เสนอเมื่อทราบและไม่ทราบพารามิเตอร์ของช่องสัญญาณไม่ค่อมีความแตกต่างกันมากนัก และสมรรถนะของระบบทั้งสองจะเข้าใกล้กันมากขึ้นเมื่อค่าของ  $p_e$  และ  $p_u$  มีค่าน้อยลงหรือค่า  $\text{high } E_b/N_0$  และค่า  $\text{low } E_b/N_0$  มีความแตกต่างกันมากขึ้น

ถึงแม้ว่าเมื่อเปรียบเทียบสมรรถนะของระบบถอดรหัสที่เสนอนี้กับขีดจำกัดของสมรรถนะการถอดรหัสพบว่า สมรรถนะของระบบถอดรหัสที่เสนอนี้ยิ่งดีต่อกว่า แต่อย่างไรก็ดี เมื่อช่องสัญญาณมีความน่าจะเป็นของการเปลี่ยนแปลงสถานะน้อยลงหรือ  $p_e$  และ  $p_u$  มีค่าน้อยลงสมรรถนะของระบบถอดรหัสที่เสนอก็มักจะเข้าใกล้ขีดจำกัดของสมรรถนะการถอดรหัสมากขึ้น เนื่องจากเบิสต์ดีเทกเตอร์สามารถตรวจวัดสถานะช่องสัญญาณได้ดีขึ้นเมื่อ  $p_e$  และ  $p_u$  มีค่าน้อยลง ซึ่งประเด็นนี้จะกล่าวต่อไปในหัวข้อสมรรถนะการตรวจวัดเบิสต์ของเบิสต์ดีเทกเตอร์

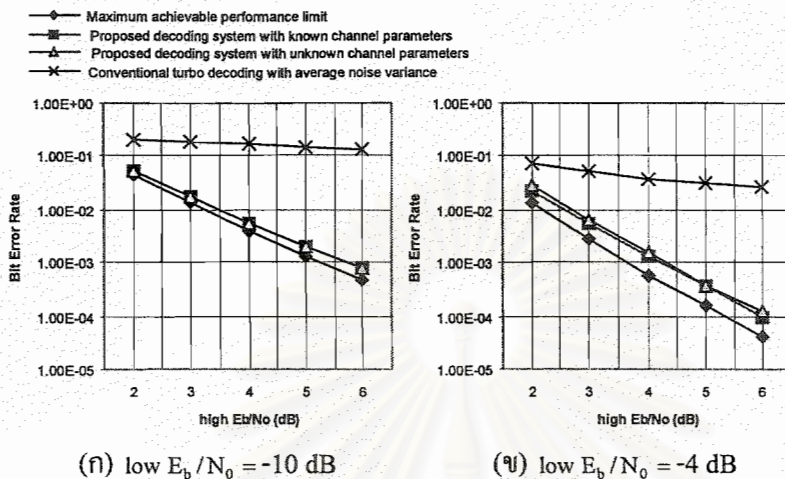


รูปที่ 12 สมรรถนะของระบบถอดรหัสต่าง ๆ เมื่อขนาดของบล็อกข้อมูลเป็น 300 บิต ค่า  $P_b = 0.1$  และ  $P_g = 0.3$

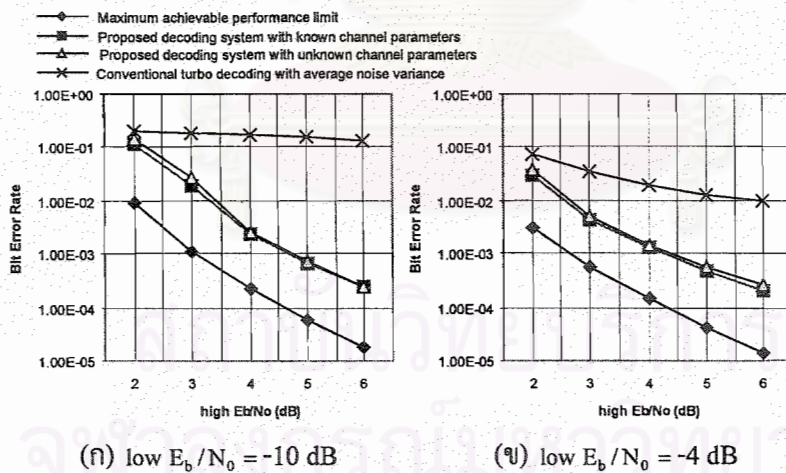


รูปที่ 13 สมรรถนะของระบบถอดรหัสต่าง ๆ เมื่อขนาดของบล็อกข้อมูลเป็น 300 บิต ค่า  $P_b = 1/30$  และ  $P_g = 0.1$

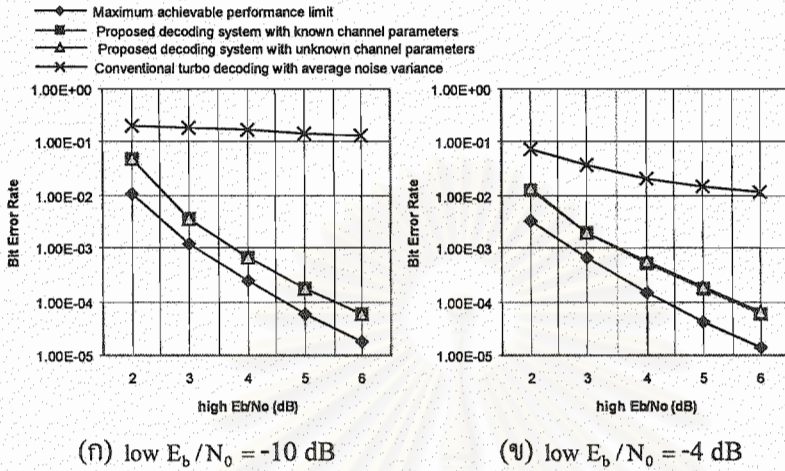


(ก)  $low E_b/N_0 = -10$  dB(ข)  $low E_b/N_0 = -4$  dB

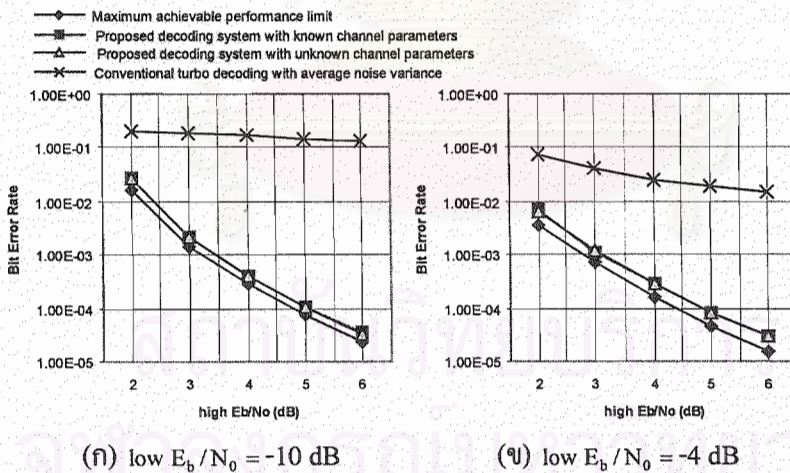
รูปที่ 14 สมรรถนะของระบบถอดรหัสต่างๆ เมื่อขนาดของบล็อกข้อมูลเป็น 300 บิต  
ค่า  $P_b = 0.01$  และ  $P_g = 0.03$

(ก)  $low E_b/N_0 = -10$  dB(ข)  $low E_b/N_0 = -4$  dB

รูปที่ 15 สมรรถนะของระบบถอดรหัสต่างๆ เมื่อขนาดของบล็อกข้อมูลเป็น 2400 บิต  
ค่า  $P_b = 0.1$  และ  $P_g = 0.3$



รูปที่ 16 สมรรถนะของระบบถอดรหัสต่าง ๆ เมื่อขนาดของบล็อกข้อมูลเป็น 2400 บิต  
 ค่า  $P_b = 1/30$  และ  $P_g = 0.1$



รูปที่ 17 สมรรถนะของระบบถอดรหัสต่าง ๆ เมื่อขนาดของบล็อกข้อมูลเป็น 2400 บิต  
 ค่า  $P_b = 0.01$  และ  $P_g = 0.03$

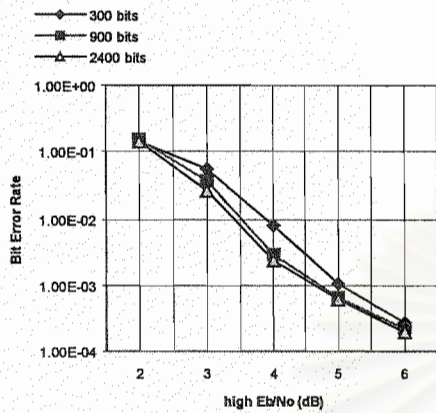
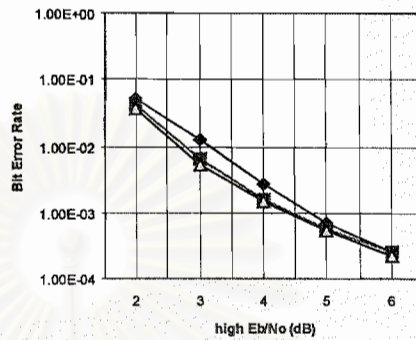
## 6.6 ผลของขนาดบล็อกข้อมูลที่มีต่อสมรรถนะของระบบถอดรหัสที่เสนอ

หัวข้อนี้แสดงผลที่ขนาดบล็อกข้อมูลมีต่อสมรรถนะของระบบถอดรหัสที่เสนอเมื่อไม่ทราบพารามิเตอร์ของช่องสัญญาณ โดยได้เปรียบเทียบสมรรถนะเมื่อบล็อกข้อมูลมีขนาด 300, 900 และ 2400 บิตในสถานะต่าง ๆ ของช่องสัญญาณ จำนวนของบล็อกข้อมูลที่ใช้คือ 50000, 20000 และ 20000 ตามลำดับ ได้ผลดังกราฟในรูปที่ 18 ถึง 20

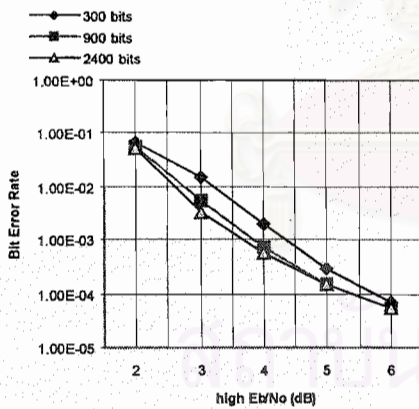
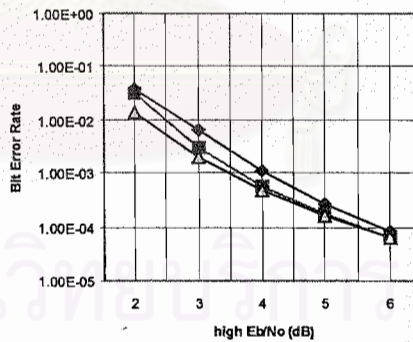
จากกราฟในรูปที่ 18 ถึง 20 พบว่า การใช้บล็อกข้อมูลที่มีขนาดมากกว่าจะให้สมรรถนะดีกว่าเสมอ และสำหรับกรณีที่บล็อกข้อมูลมีขนาดมากเพียงพอที่จะทำให้วงจรอินเทอร์ลิฟเวอร์ช่องสัญญาณสามารถกระจายเบรสต์ได้อย่างเต็มที่ดังในรูปที่ 18 ถึง 19 ก็พบว่า การใช้บล็อกข้อมูลขนาดมากกว่าให้สมรรถนะของการถอดรหัสดีขึ้นเมื่อ  $\text{high } E_b/N_0$  มีค่ามากขึ้น แต่ข้อได้เปรียบนี้เมื่อเทียบกับการใช้บล็อกข้อมูลที่มีขนาดเล็กกว่าก็มีแนวโน้มที่เริ่มลดลง เมื่อ  $\text{high } E_b/N_0$  มีค่ามากจนถึงจุดหนึ่งคือประมาณ 4 dB จากนั้นกราฟสมรรถนะของระบบถอดรหัสที่ใช้บล็อกข้อมูลขนาดต่าง ๆ ก็จะเริ่มเข้าใกล้กัน

สำหรับกรณีที่บล็อกข้อมูลมีขนาดไม่มากเพียงพอที่จะทำให้วงจรอินเทอร์ลิฟเวอร์ช่องสัญญาณสามารถกระจายเบรสต์ได้อย่างเต็มที่ ดังเช่นกรณีบล็อกข้อมูลขนาด 300 บิตในสถานะที่ช่องสัญญาณมีค่า  $P_b$  และ  $P_e$  เป็น 0.01 และ 0.03 โดยขนาดความยาวเฉลี่ยของเบรสต์ (average burst length) คำนวณได้จาก  $1/P_b$  [2, 3, 5] ซึ่งมีค่าประมาณ 33 สมรรถนะในกรณีดังกล่าวแสดงด้วยกราฟในรูปที่ 20 ในรูปนี้กราฟสมรรถนะสำหรับกรณีที่บล็อกข้อมูลมีขนาด 300 บิตไม่มีแนวโน้มที่จะเข้าใกล้กราฟสมรรถนะของระบบถอดรหัสเมื่อบล็อกข้อมูลมีขนาด 900 และ 2400 บิต แม้ว่าจะเพิ่มค่า  $\text{high } E_b/N_0$  ให้มากขึ้น จะเห็นได้ว่าการใช้บล็อกข้อมูลที่มีขนาดไม่เพียงพอนี้ทำให้สมรรถนะของการถอดรหัสด้อยลงไปมาก

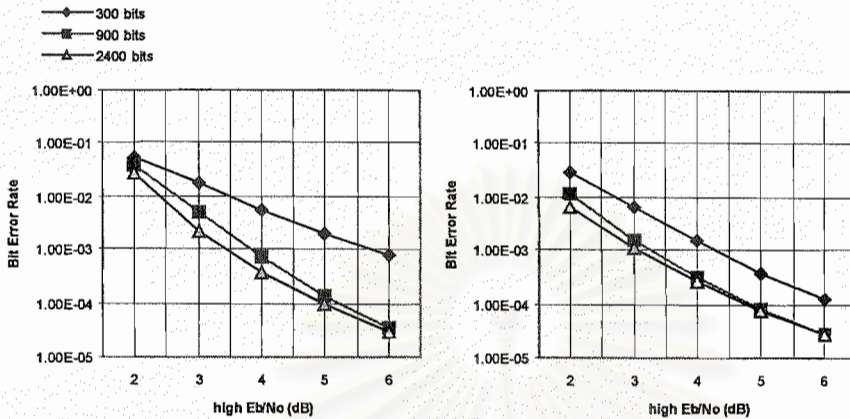


(ก) low  $E_b/N_0 = -10$  dB(ข) low  $E_b/N_0 = -4$  dB

รูปที่ 18 การเปรียบเทียบสมรรถนะของระบบถอดรหัสที่เสนอเมื่อไม่ทราบพารามิเตอร์ของช่องสัญญาณ โดยบล็อกข้อมูลมีขนาดเป็น 300, 900 และ 2400 บิต ค่า  $P_b = 0.1$  และ  $P_g = 0.3$

(ก) low  $E_b/N_0 = -10$  dB(ข) low  $E_b/N_0 = -4$  dB

รูปที่ 19 การเปรียบเทียบสมรรถนะของระบบถอดรหัสที่เสนอเมื่อไม่ทราบพารามิเตอร์ของช่องสัญญาณ โดยบล็อกข้อมูลมีขนาดเป็น 300, 900 และ 2400 บิต ค่า  $P_b = 1/30$  และ  $P_g = 0.1$

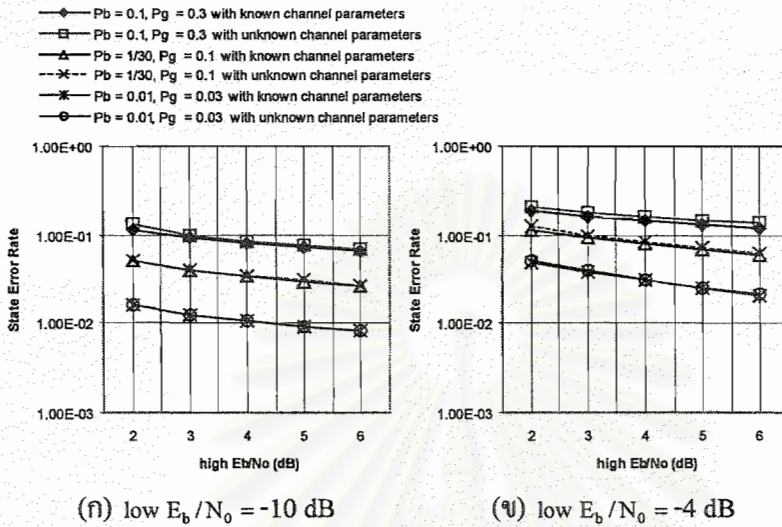
(ก) low  $E_b/N_0 = -10$  dB(ข) low  $E_b/N_0 = -4$  dB

รูปที่ 20 การเปรียบเทียบสมรรถนะของระบบถอดรหัสที่เสนอเมื่อไม่ทราบพารามิเตอร์ของช่องสัญญาณ โดยบล็อกข้อมูลมีขนาดเป็น 300, 900 และ 2400 บิต ค่า  $p_b = 0.01$  และ  $p_g = 0.03$

### 6.7 สมรรถนะการตรวจวัดเบรสต์ของเบรสต์ดีเทกเตอร์

หัวข้อนี้แสดงผลการทดสอบสมรรถนะของเบรสต์ดีเทกเตอร์ ภายใต้สภาวะต่าง ๆ ของช่องสัญญาณ โดยสมรรถนะนี้วัดจากอัตราความผิดพลาดของสถานะช่องสัญญาณที่เบรสต์ดีเทกเตอร์ตรวจวัดได้เมื่อระบบถอดรหัสเข้าสู่ ผลการเปรียบเทียบสมรรถนะของเบรสต์ดีเทกเตอร์เมื่อทราบและไม่ทราบพารามิเตอร์ของช่องสัญญาณแสดงในรูปที่ 21 และผลที่ขนาดของบล็อกข้อมูลมีต่อสมรรถนะของเบรสต์ดีเทกเตอร์แสดงในรูปที่ 22

ในรูปที่ 21 แสดงการเปรียบเทียบกราฟสมรรถนะของเบรสต์ดีเทกเตอร์เมื่อทราบและไม่ทราบพารามิเตอร์ของช่องสัญญาณ โดยขนาดของบล็อกข้อมูลเท่ากับ 2400 บิต จำนวนของบล็อกข้อมูลที่ใช้คือ 20000 ภายใต้สภาวะที่ช่องสัญญาณมีค่า  $(p_b, p_g)$  เท่ากับ (0.1, 0.3), (1/30, 0.1) และ (0.01, 0.03) และกำหนดให้ low  $E_b/N_0$  มีค่าเท่ากับ  $-10$  dB และ  $-4$  dB ในรูปที่ 21(ก) และ 21(ข) ตามลำดับ พบว่าสมรรถนะของเบรสต์ดีเทกเตอร์ดีขึ้นเมื่อ  $p_b$  และ  $p_g$  มีค่าลดลง หรือเมื่อ high  $E_b/N_0$  และ low  $E_b/N_0$  มีค่าแตกต่างกันมากขึ้น นอกจากนี้การทราบและไม่ทราบพารามิเตอร์ของช่องสัญญาณมีผลต่อสมรรถนะของเบรสต์ดีเทกเตอร์ไม่มากนัก โดยเฉพาะเมื่อ  $p_b$  และ  $p_g$  มีค่าน้อยลง

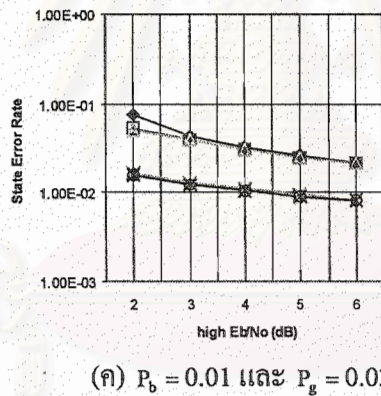
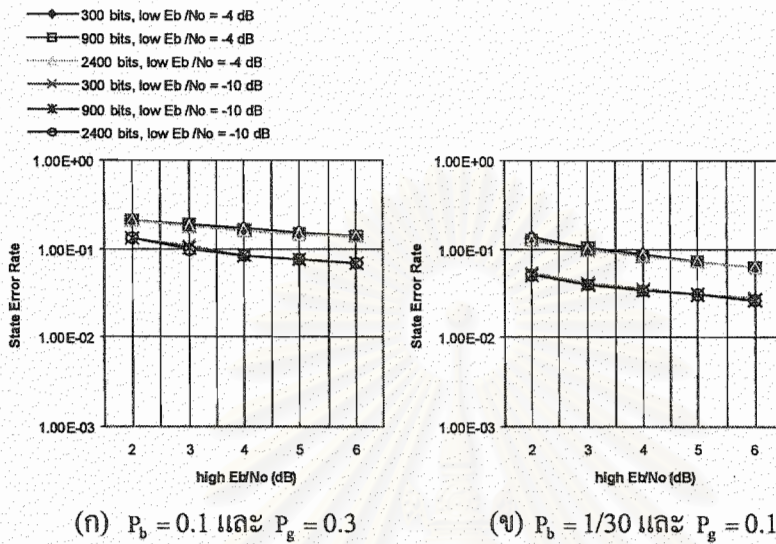


รูปที่ 21 การเปรียบเทียบสมรรถนะของเบิรสต์ดีเทกเตอร์เมื่อทราบและไม่ทราบพารามิเตอร์ของช่องสัญญาณ โดยบล็อกข้อมูลมีขนาดเป็น 2400 บิต และ  $(p_b, p_g)$  มีค่าเป็น  $(0.1, 0.3)$ ,  $(1/30, 0.1)$  และ  $(0.01, 0.03)$

รูปที่ 22 แสดงถึงผลที่ขนาดของบล็อกข้อมูลมีต่อสมรรถนะของเบิรสต์ดีเทกเตอร์ ขนาดของบล็อกข้อมูลที่ใช้ในการทดสอบคือ 300, 900 และ 2400 บิต จำนวนของบล็อกข้อมูลที่ใช้คือ 50000, 20000 และ 20000 ตามลำดับ ในรูปที่ 22(ก), 22(ข) และ 22(ค) กำหนดให้  $(p_b, p_g)$  มีค่าเป็น  $(0.1, 0.3)$ ,  $(1/30, 0.1)$  และ  $(0.01, 0.03)$  ตามลำดับ จากผลที่ได้พบว่าขนาดของบล็อกข้อมูลที่ใช้แทบจะไม่มีผลต่อสมรรถนะของเบิรสต์ดีเทกเตอร์ ถ้าขนาดของบล็อกข้อมูลที่ใช้มากเพียงพอที่จะทำให้วงจรอินเทอร์ลีฟเวอร์ช่องสัญญาณสามารถกระจายเบิรสต์ได้อย่างเต็มที่ ดังในรูปที่ 22(ก) และ 22(ข)

แต่ถ้าขนาดของบล็อกข้อมูลไม่เพียงพอ ก็จะทำให้สมรรถนะของเบิรสต์ดีเทกเตอร์ด้อยลงได้ ดังกรณีของการใช้บล็อกข้อมูลขนาด 300 บิต และ  $(p_b, p_g)$  มีค่าเป็น  $(0.01, 0.03)$  ดังในรูปที่ 22(ค) อย่างไรก็ดี เมื่อ  $high E_b/N_0$  มีค่ามากขึ้นหรือเมื่อ  $high E_b/N_0$  และ  $low E_b/N_0$  มีค่าแตกต่างกันมากขึ้น ขนาดของบล็อกข้อมูลที่มีผลต่อสมรรถนะของเบิรสต์ดีเทกเตอร์น้อยลง





รูปที่ 22 การเปรียบเทียบสมรรถนะของเบรสต์ดีเทกเตอร์เมื่อไม่ทราบพารามิเตอร์ของช่องสัญญาณ โดย  
 บล็อกข้อมูลมีขนาดเป็น 300, 900 และ 2400 บิต และ  $(P_b, P_g)$  มีค่าเป็น  $(0.1, 0.3)$ ,  $(1/30, 0.1)$   
 และ  $(0.01, 0.03)$

## 7. สรุปผลของการวิจัย

จากผลการทดสอบสมรรถนะของระบบถอดรหัสที่เสนอในหัวข้อผลของการวิจัยแสดงให้ว่าการนำเบิร์ตดีเทกเตอร์มาใช้งานสามารถปรับปรุงสมรรถนะการถอดรหัสให้ดีขึ้นอย่างมาก เมื่อเปรียบเทียบกับการที่ไม่ใช้ อย่างไรก็ตามการนำเบิร์ตดีเทกเตอร์มาใช้ทำให้ตัวถอดรหัสเทอร์โบนอกจากจะต้องถอดบิตข้อมูลแล้ว ก็ยังจะต้องถอดพาริตีบิตอีกด้วย เนื่องจากเบิร์ตดีเทกเตอร์ต้องใช้บิตเหล่านี้เพื่อประมาณค่าความน่าจะเป็นของสถานะช่องสัญญาณ และยังทำให้การถอดรหัสเทอร์โบต้องคำนวณค่าฟังก์ชันความน่าจะเป็นจริงแบบมีการถ่วงน้ำหนักเพื่อที่จะสามารถใช้ข่าวสารของสถานะช่องสัญญาณจากเบิร์ตดีเทกเตอร์ได้ ด้วยเหตุนี้จึงทำให้ความซับซ้อนของตัวถอดรหัสเทอร์โบเพิ่มมากขึ้น อย่างไรก็ตามเมื่อวัดความซับซ้อนของระบบถอดรหัสที่เสนอเมื่อไม่ทราบพารามิเตอร์ของช่องสัญญาณ พบว่ายังคงแปรผัน โดยตรงกับขนาดของบล็อกข้อมูล โดยมีค่าคงที่ของการแปรผันเพิ่มขึ้นเป็นไม่เกินสามเท่า เมื่อเปรียบเทียบกับระบบถอดรหัสเทอร์โบแบบดั้งเดิม และกำหนดให้จำนวนสถานะของตัวเข้ารหัสย่อยเท่ากับแปด และจำนวนตัวเข้ารหัสย่อยเท่ากับสอง

เพื่อที่จะเปรียบเทียบระบบถอดรหัสเทอร์โบแบบดั้งเดิมกับระบบถอดรหัสที่เสนอ โดยกำหนดให้ความซับซ้อนใกล้เคียงกัน จะเปรียบเทียบสมรรถนะของระบบถอดรหัสเทอร์โบแบบดั้งเดิมที่ขนาดของบล็อกข้อมูลเท่ากับ 2400 บิต กับระบบถอดรหัสที่เสนอเมื่อไม่ทราบพารามิเตอร์ของช่องสัญญาณที่ขนาดของบล็อกข้อมูล 900 บิต จำนวนการคูณและการบวกของระบบถอดรหัสทั้งสองแสดงในตารางที่ 5 เมื่อพิจารณาสมรรถนะของระบบถอดรหัสแบบดั้งเดิมจากกราฟในรูปที่ 17(ข) ที่  $\text{high } E_b/N_0$  เท่ากับ 6 dB ได้ค่าอัตราความผิดพลาดบิตเท่ากับ  $1.8373 \times 10^{-2}$  กับสมรรถนะของระบบถอดรหัสที่เสนอจากกราฟในรูปที่ 20(ข) ที่  $\text{high } E_b/N_0$  เท่ากับ 6 dB ได้ค่าอัตราความผิดพลาดบิตเท่ากับ  $2.7417 \times 10^{-5}$  จะเห็นว่าระบบถอดรหัสที่เสนอนี้ยังดีกว่าระบบถอดรหัสเทอร์โบแบบดั้งเดิมอยู่มาก แม้ว่าจะกำหนดให้ความซับซ้อนของการถอดรหัสใกล้เคียงกัน

ตารางที่ 5 การเปรียบเทียบระบบถอดรหัสแบบที่ 3 และ 4 เมื่อกำหนดความซับซ้อนให้ใกล้เคียงกันที่

$$\text{high } E_b/N_0 = 6 \text{ dB, low } E_b/N_0 = -4 \text{ dB, } P_b = 0.01 \text{ และ } P_g = 0.03 \text{ ( } D = 2, C = 2, M = 2^3 = 8 \text{ )}$$

Decoding Scheme No.	Data Block Size	Number of Multiplication Per Iteration Step	Number of Additions Per Iteration Step	Bit Error Rate
3	900	$405(900)+4 = 364504$	$162(900)-8 = 145792$	$2.7417 \times 10^{-5}$
4	2400	$194(2400) = 465600$	$60(2400) = 144000$	$1.8373 \times 10^{-2}$

## 8. ข้อเสนอแนะ

ผู้วิจัยมีข้อเสนอแนะสำหรับงานวิจัยในขั้นต่อไปดังนี้

- 1 ในการวิจัยนี้ได้กำหนดให้จำนวนของสถานะช่องสัญญาณมีค่าเท่ากับสอง ในการนำไปใช้งานจริงนั้นอาจมีความจำเป็นที่จะต้องเพิ่มจำนวนของสถานะช่องสัญญาณเพื่อให้มีค่าความแปรปรวนของสัญญาณรบกวนได้มากกว่าสองค่า ซึ่งจะทำให้แบบจำลองที่ได้เข้าใกล้คุณสมบัติที่แท้จริงของช่องสัญญาณมากขึ้น และผลการถอดรหัสที่น่าจะดีขึ้น
- 2 ในการวิจัยนี้ได้กำหนดให้ค่าความน่าจะเป็นของการเปลี่ยนสถานะช่องสัญญาณไม่เปลี่ยนแปลงตามเวลาในแต่ละบล็อกข้อมูลเช่นเดียวกับงานวิจัยอื่น ๆ ที่ผ่านมา [2-6] และเนื่องจากการประมาณค่าความน่าจะเป็นของการเปลี่ยนสถานะด้วยอัลกอริทึมแบบบอมา-เวลช์ใช้ได้กับกรณีที่ค่าความน่าจะเป็นของการเปลี่ยนสถานะไม่เปลี่ยนแปลงตามเวลาเท่านั้น จึงเห็นว่างานวิจัยในขั้นต่อไปน่าจะพัฒนาอัลกอริทึมที่สามารถประมาณค่าความน่าจะเป็นของการเปลี่ยนสถานะที่เปลี่ยนแปลงตามเวลา



## รายการอ้างอิง

1. C. Berrou, A. Glavieux, and P. Thitimajshima. Near Shannon Limit Error Correcting Coding and Decoding: Turbo Codes (1). Proceedings of IEEE International Conference on Communications (ICC' 93) (May 1993): 1064-1070.
2. M. Mushkin, and I. Bar-David. Capacity and Coding for the Gilbert-Elliott Channels. IEEE Transactions on Information Theory Vol. 35 (November 1989): 1277-1289.
3. A. J. Goldsmith, and P. P. Varaiya. Capacity, Mutual Information, and Coding for Finite-State Markov Channels. IEEE Transaction on Information Theory Vol. 42(May 1989) : 868-886.
4. J. Garcia-Frias, and J. D. Villasenor. Turbo Decoding for Markov Channels. IEEE Communication Letters Vol. 2, No. 9 (September 1998): 257-259.
5. C. Pimentel, and L. C. Rego. Analysis of Soft Decision Decoding of Interleaved Convolutional Codes over Burst Channels. Proceedings of IEEE Wireless Communications and Networking Conference (WCNC'99) Vol. 3 (1999): 1090-1094.
6. J. Garcia-Frias, and J. D. Villasenor. Turbo Codes for Continuous Hidden Markov Channels with Unknown Parameters. Proceedings of IEEE Global Telecommunications Conference (GLOBECOM'99) Vol. 5 (1999): 2363-2368.
7. L. R. Bahl, J. Cocke, F. Jelinek, and J. Raviv. Optimal Decoding of Linear Codes for Minimizing Symbol Error Rate. IEEE Transactions on Information Theory Vol. 20(March 1974): 284-287.
8. L. R. Rabiner. A tutorial on hidden Markov models and selected applications in speech recognition. IEEE Proceedings Vol. 77, No. 2 (February 1989): 257-286.
9. J. Hagenauer, E. Offer, and L. Papke. Iterative Decoding of Binary Block and Convolutional Codes. IEEE Transaction on Information Theory Vol. 42, No. 2 (March 1996): 429-445.
10. C. Berrou, and A. Glavieux. Near Optimal Error Correcting Coding and Decoding: Turbo-Codes. IEEE Transaction on Communications Vol. 44, No. 10 (October 1996): 1261-1271.
11. D. Divsalar, and F. Pollara. Turbo Codes for PCS Applications. Proceedings of IEEE International Conference on Communications (ICC'95) Vol. 1 (1995): 54-59.
12. C. Heegard, and S. B. Wicker. Turbo Coding USA: Kluwer Academic Publishers, 1999.

## รายการอ้างอิง (ต่อ)

13. J. Hagenauer, and P. Hoehner. A Viterbi Algorithm with Soft Decision Outputs and Its Applications. Proceedings of IEEE Global Telecommunications Conference (GLOBECOM'89) Vol. 3 (1989): 1680-1686.
14. J. Hagenauer, and L. Papke. Decoding Turbo-Codes with Soft Output Viterbi Algorithm. Proceedings of IEEE International Symposium on Information Theory (1994): 164.
- 15 M.P.C. Fossorier, F.Burkert, L. Shu, and J. Hagenauer. On The Equivalence between SOVA and Max-Log MAP Decodings. IEEE Communication Letters Vol. 2 Issue 5 (May 1998): 137-139.
- 16 A. Papoulis. Probability, Random Variables, and Stochastic Processes Singapore: McGraw-Hill, 2<sup>nd</sup> Edition, 1985.

สถาบันวิทยบริการ  
จุฬาลงกรณ์มหาวิทยาลัย